



Co-funded by the  
Erasmus+ Programme  
of the European Union

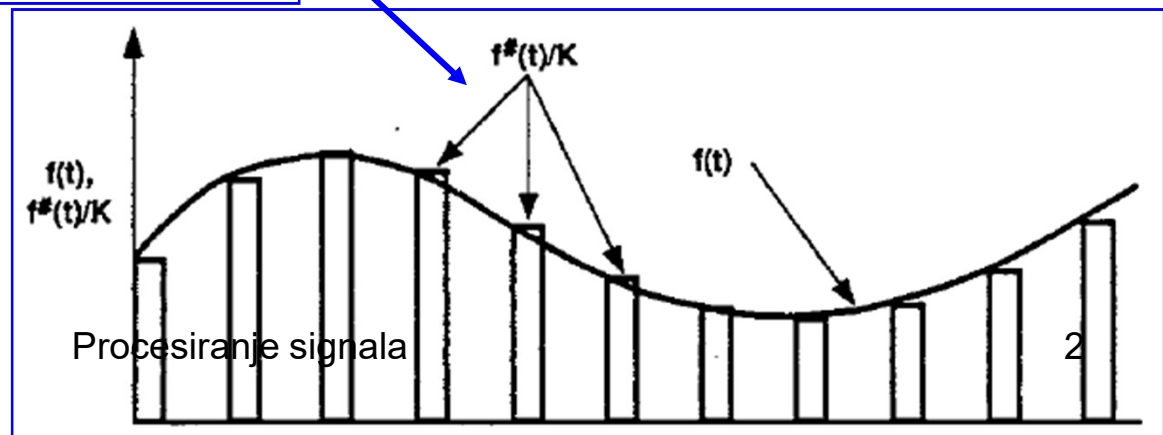
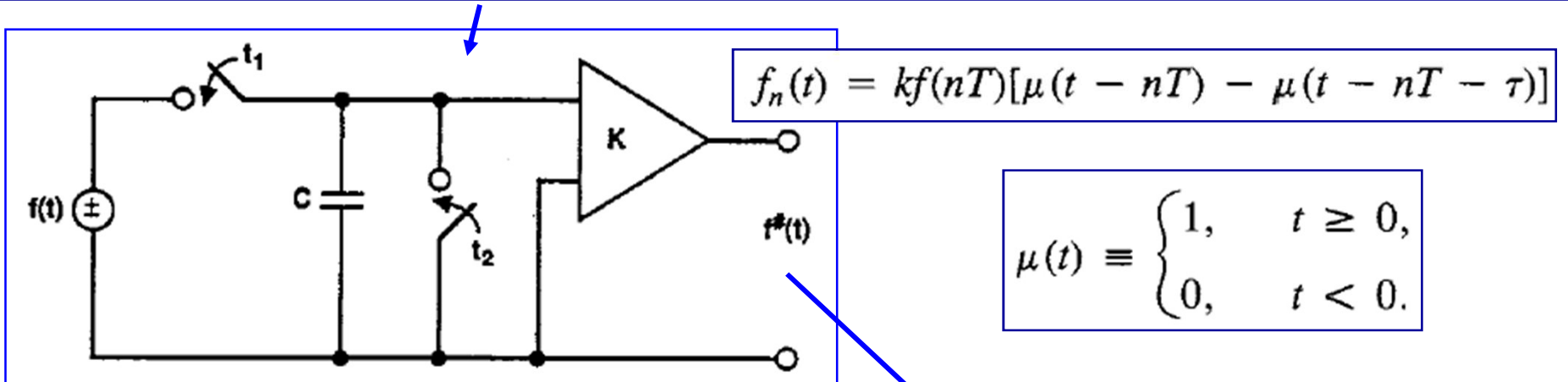
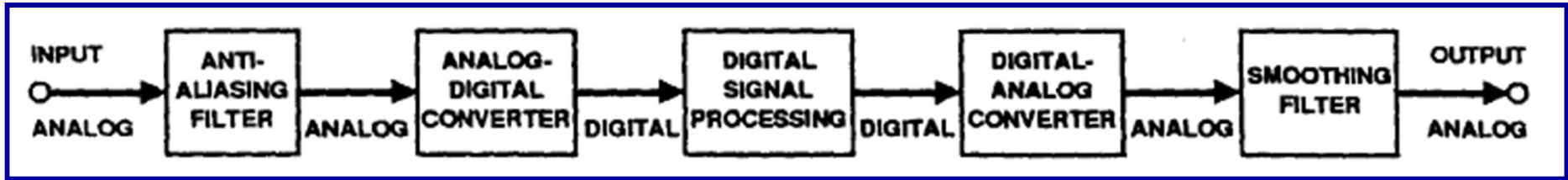


# Procesiranje signala

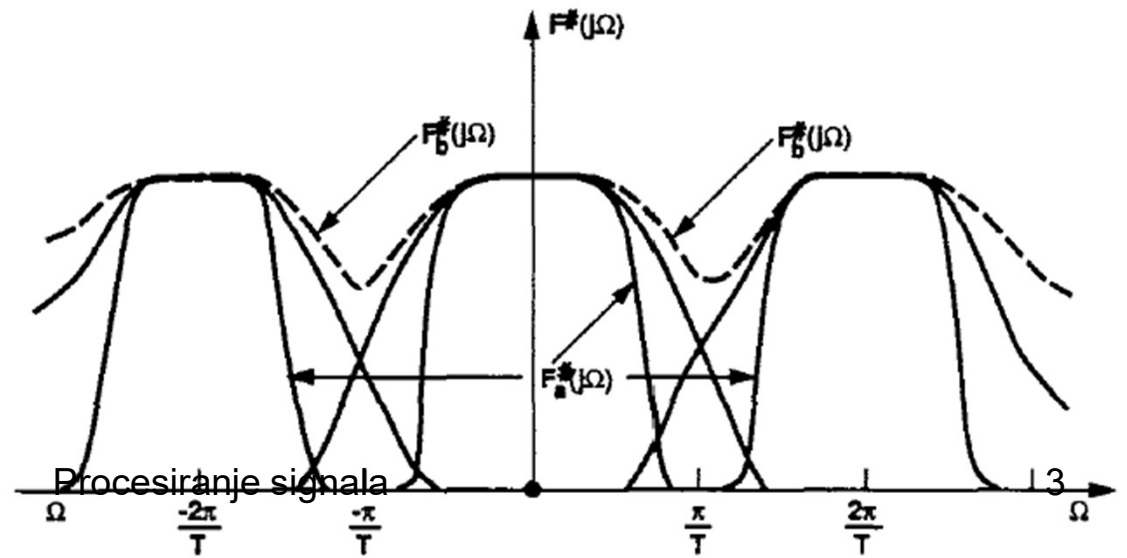
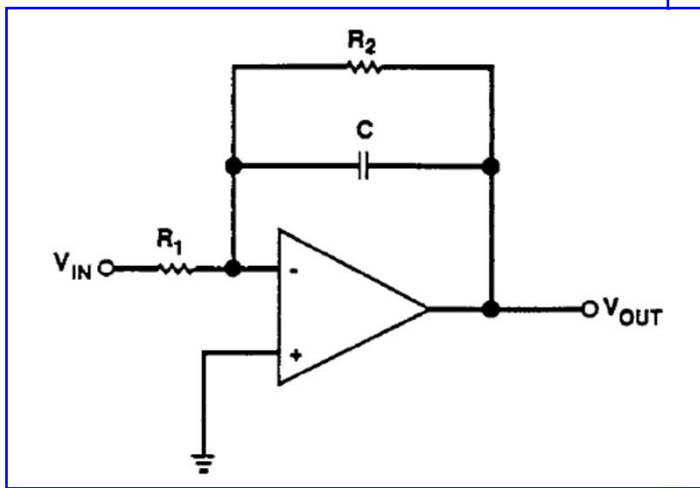
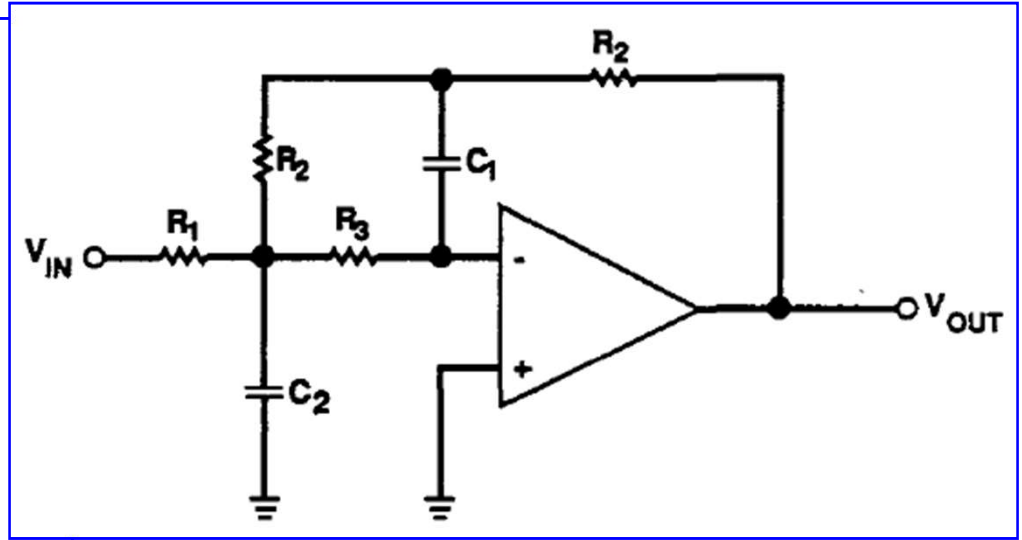
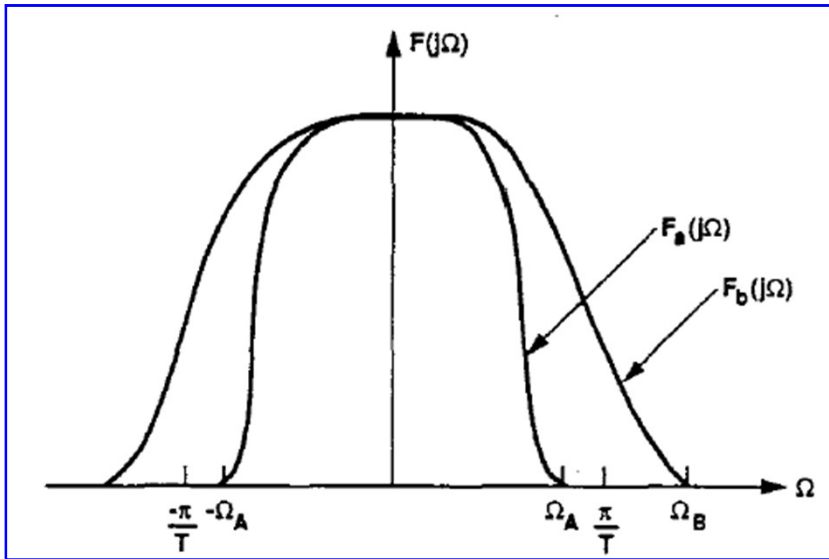
**Profesor dr Miroslav Lutovac**

*"This project has been funded with support from the European Commission. This publication [communication] reflects the views only of the author, and the Commission cannot be held responsible for any use which may be made of the information contained therein"*

# DSP sistem za obradu analognog signala



# Analogni filter



Procesiranje signala

# Odnos signal-šum (SNR)

$$\text{SNR} = 6n + 1.8 \text{ dB}$$

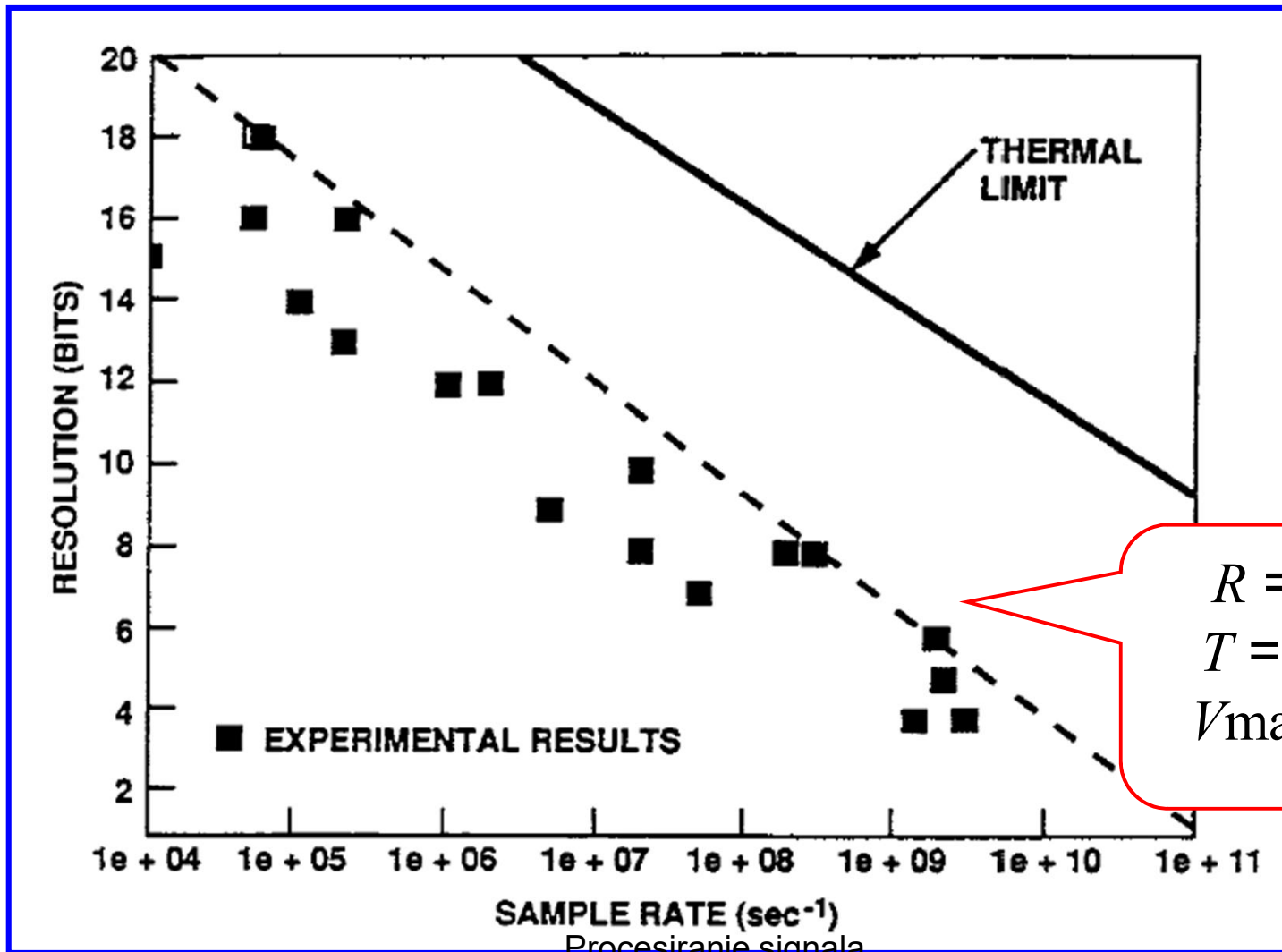
$n$  je broj bita,  
za ceo opseg učestanosti  
od 0 do  $F_s/2$

# Odnos signal-šum (SNR)

$$N_{\max} = \log_2 \sqrt{\frac{V_{\max}^2}{8kTR \Delta f}}$$

$R$  je imedansa na ulazu,  
 $T$  je temperature,  
 $\Delta f$  je opseg učestanosti,  
 $k$  je Bolcmanova konstanta

# Dinamički opseg – frekvencijski opseg



Procesiranje signala

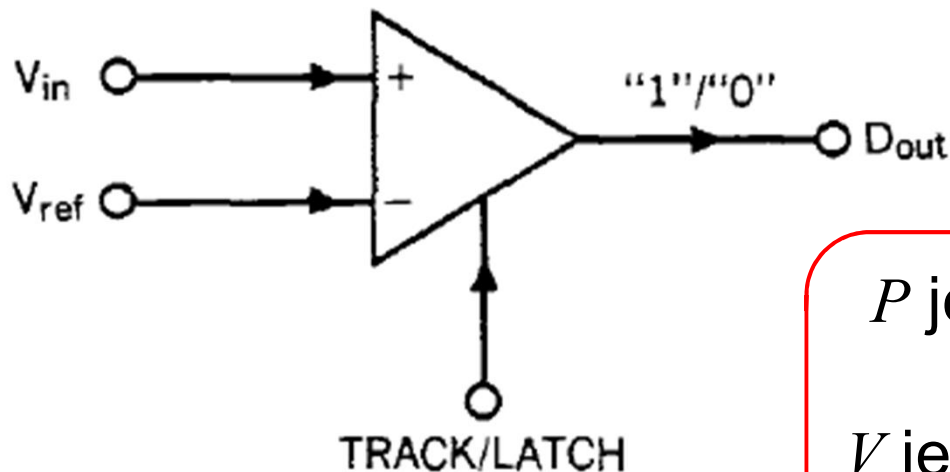
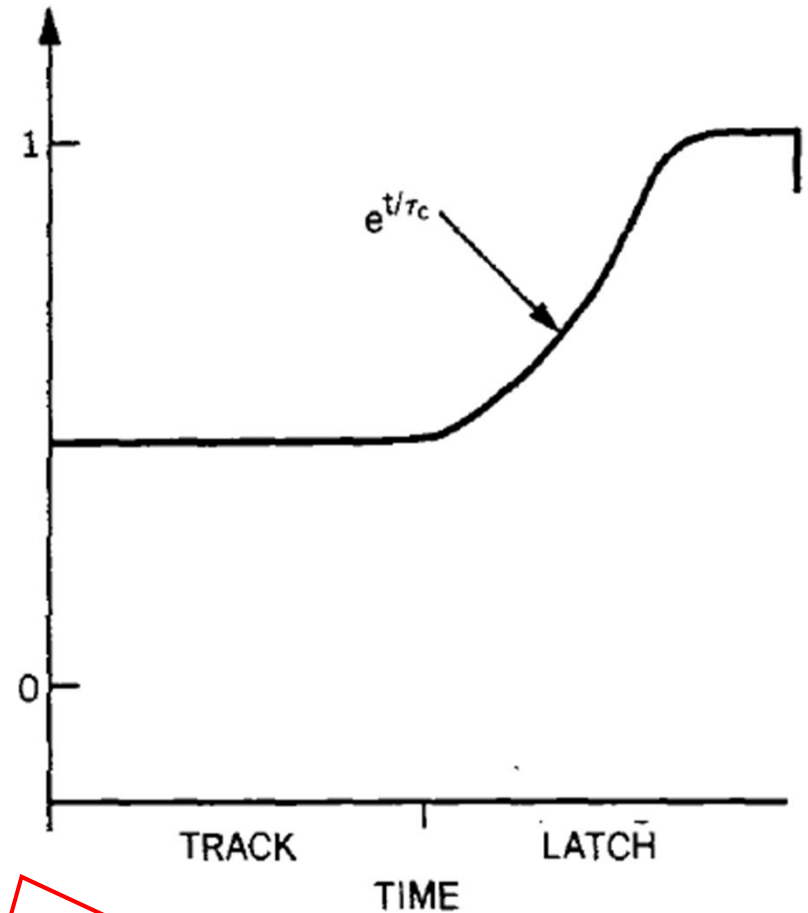
# Degradacija SNR zbog džitera

$$2^N f_{sig} \tau_a \leq 1$$

$\tau_a$  je rms džitera,  
 $f_{sig}$  je maksimalna učestanost

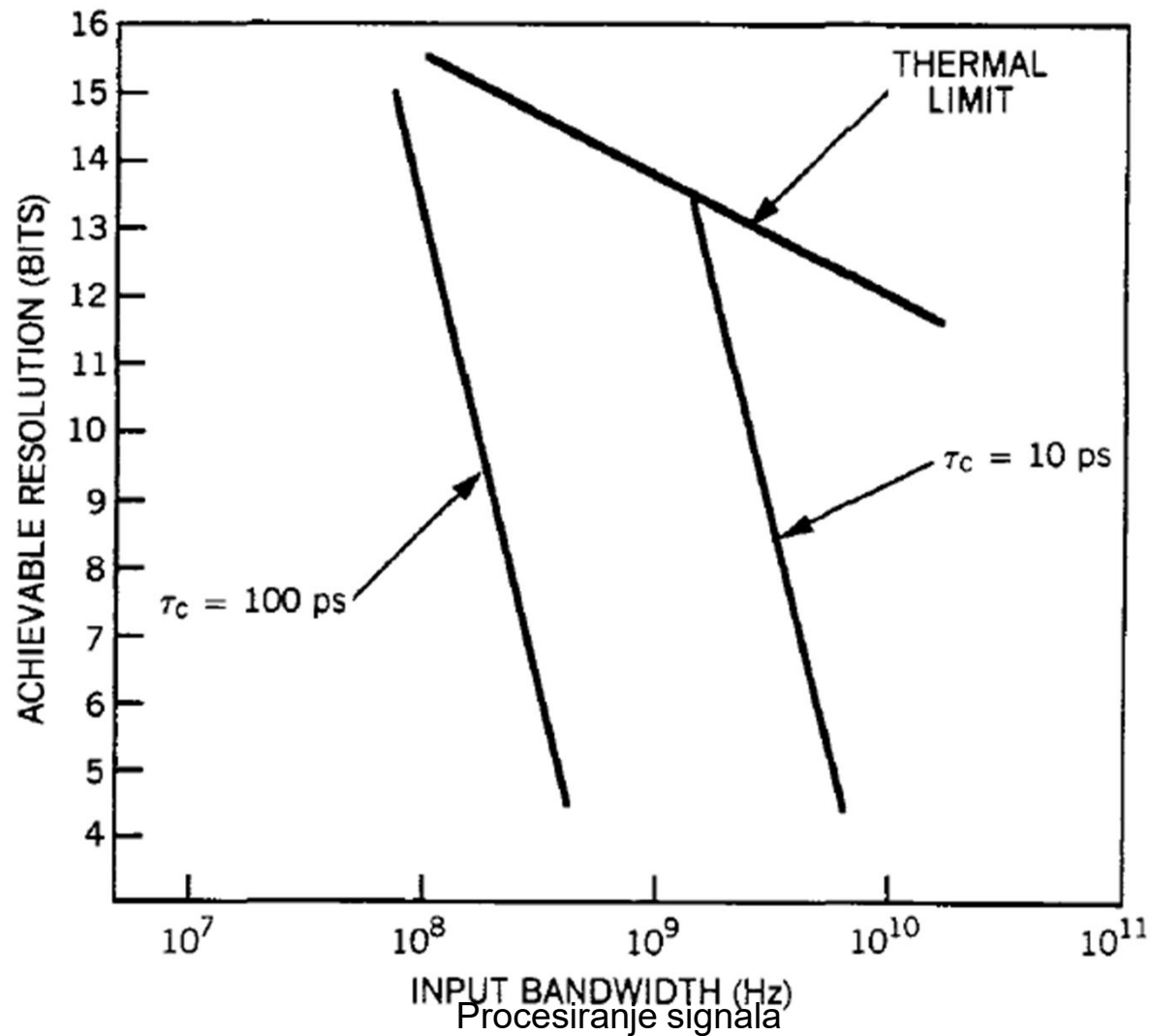
# Degradacija SNR

$$P_i = \frac{2V_L}{A_0q} e^{-t/\tau_c}$$



$P$  je verovatnoća degradacije,  
 $A$  je pojačanje,  
 $V$  je napon izlaza (logike),  
 $\tau$  je vreme regeneracije

# Ostvarljiva rezolucija



# Degradacija SNR

Vreme regeneracije komparatora,  
Neidealni elementi (R, C, pojačanje)  
Nelinearnost ulaz-izlaz

---

Differential nonlinearity (DNL)

The maximum difference between any actual step and the ideal step size (1 LSB)

Integral nonlinearity (INL)

The maximum difference between the conversion curve and a straight-line reference

Monotonicity

Larger input gives larger output

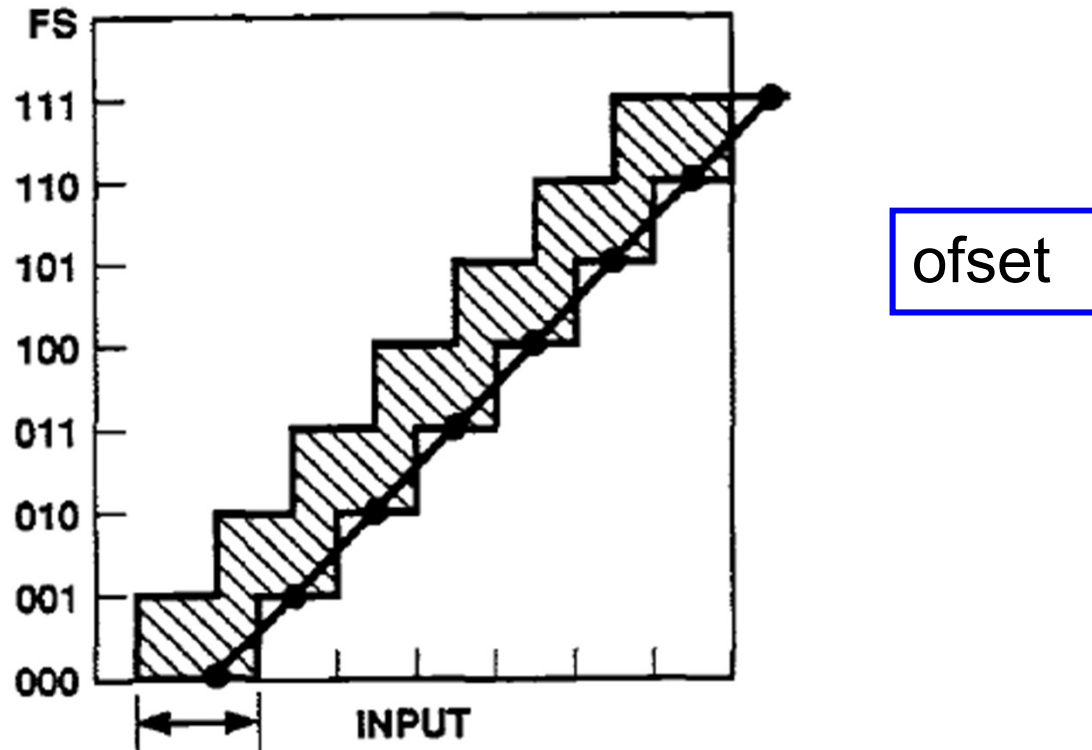
Absolute linearity

Maximum difference between ideal and actual characteristics, including offset and gain errors

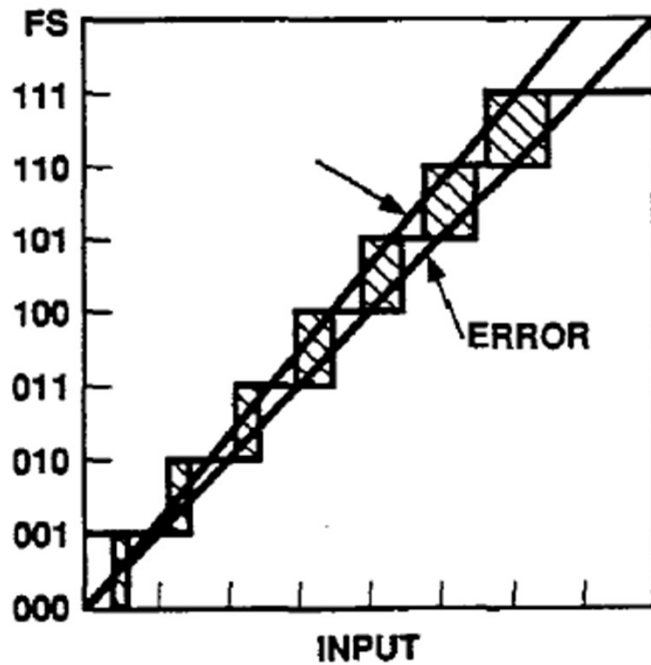
Missing code in A/D converter

Some digital codes cannot be generated

# Statičke greške

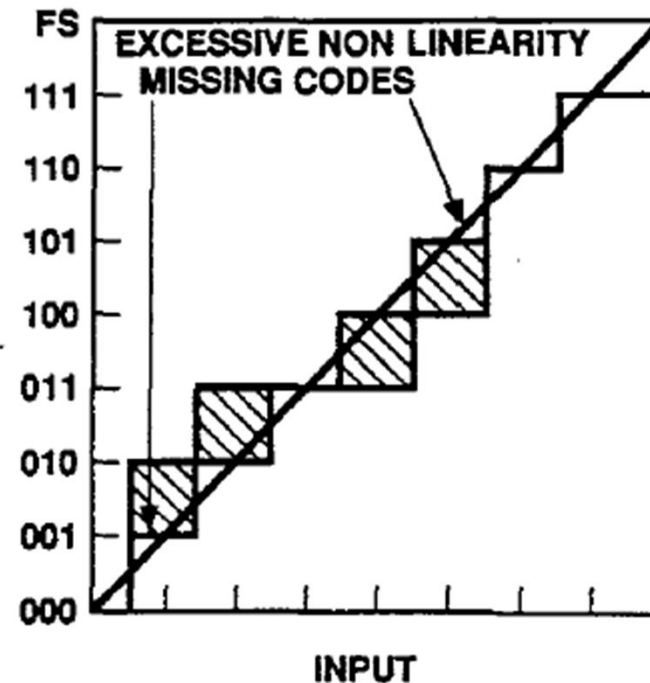
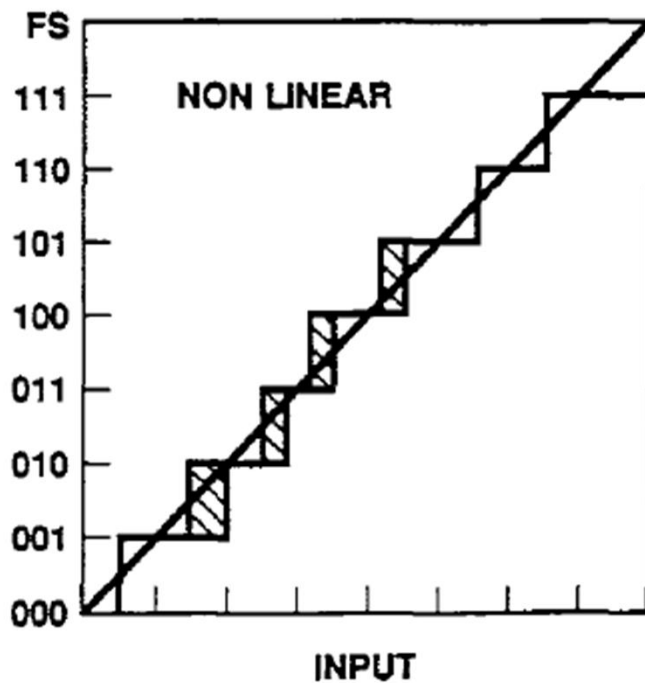


# Statičke greške



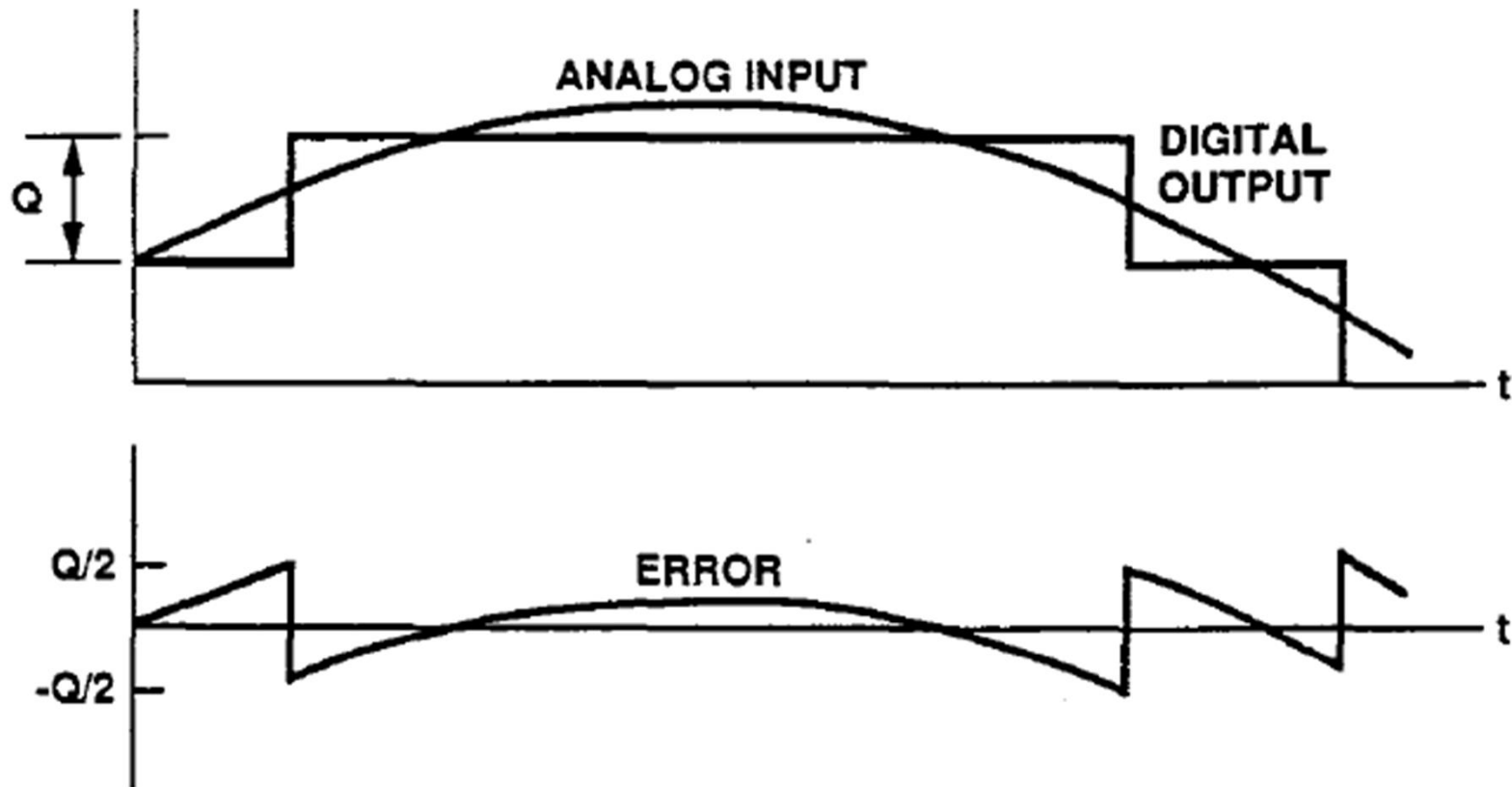
pojačanje

# Statičke greške



nelinearnost

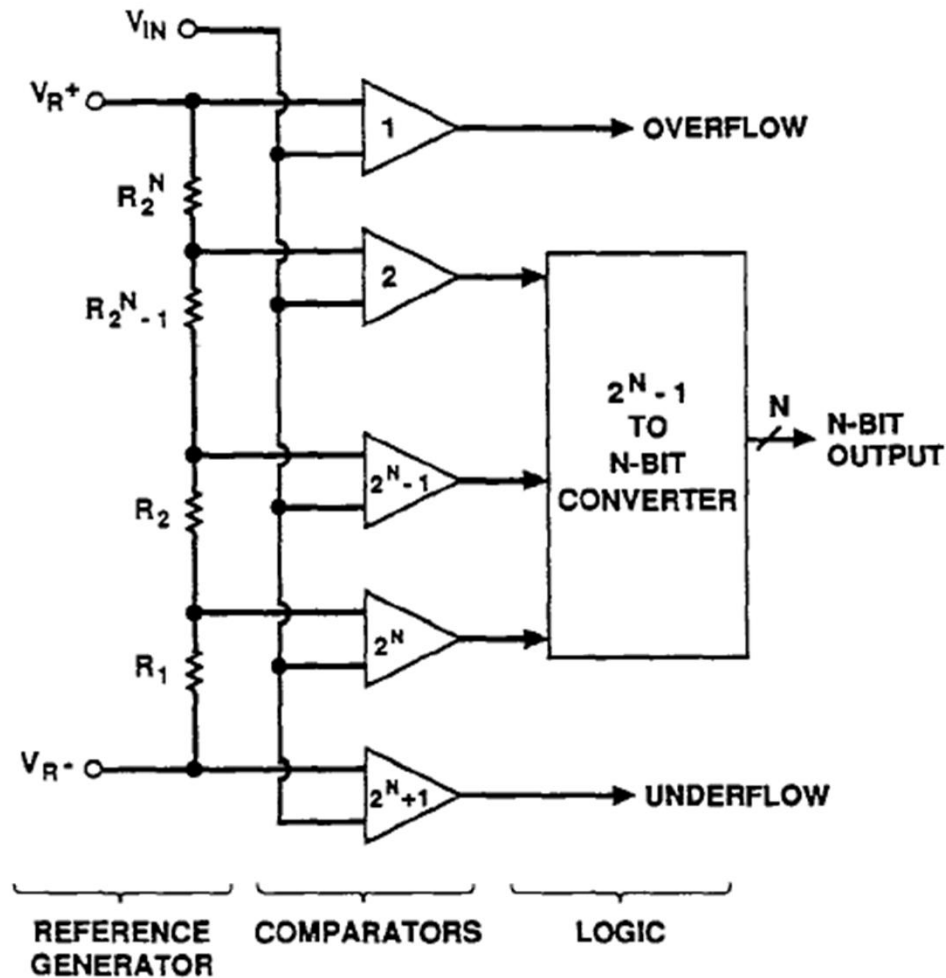
# Greška kvantizacije



# Vrste ADC

- Flash – paralelni
- Pipelining – protočni
- Uzastopna aproksimacija
- Sa nadodabiranjem (delta - sigma)
- Serijski
- Sa brojanjem

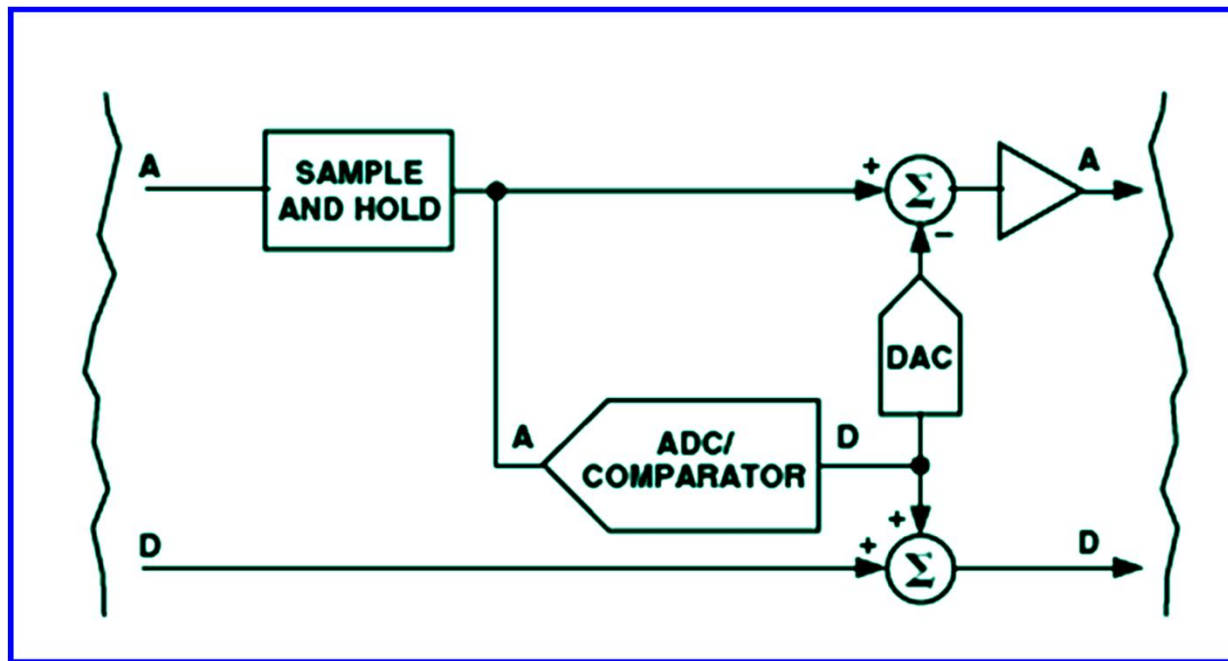
# Flash



1. Referentni naponi
  2. Komparatori
  3. Logika za konverziju u binarni format
- u jednom ciklusu (trenutno)
  - $2^N - 1$  komparatora  
4 b – 15 komparatora  
16 b – 65535 komparatora

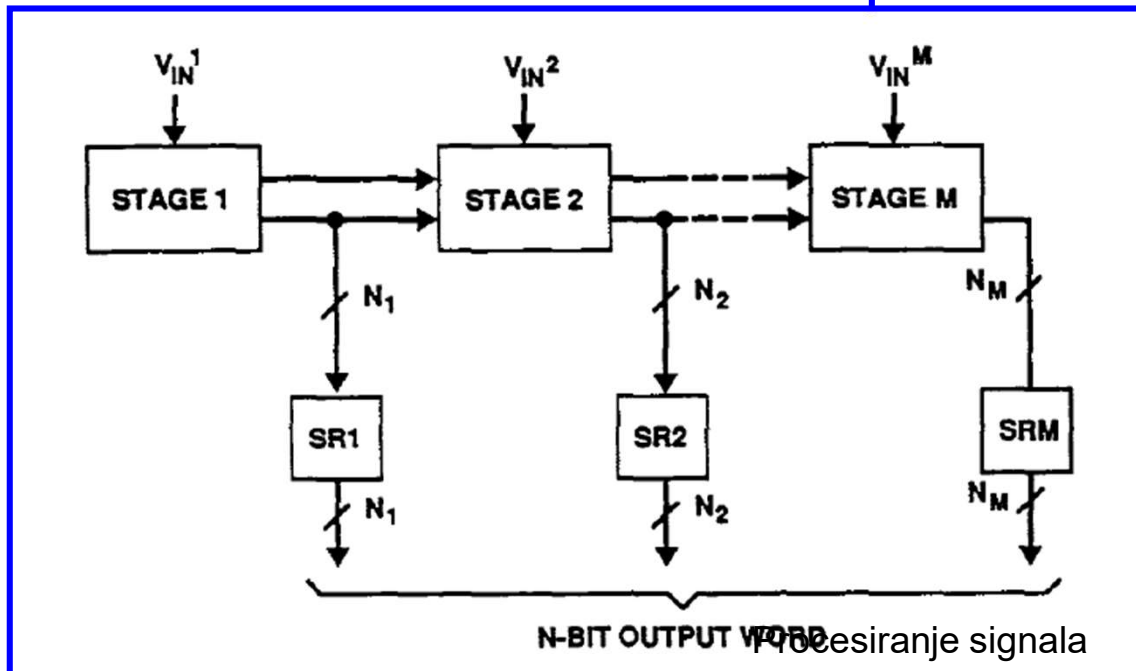
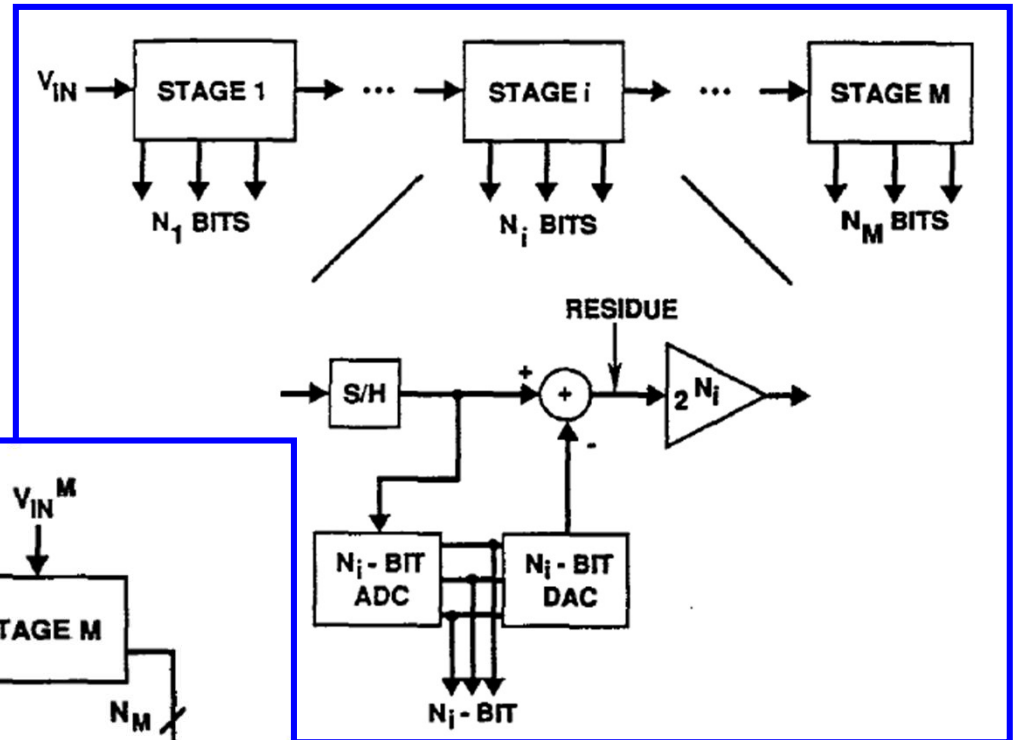
# Protočni

- $P \cdot 2^N - 1$  komparatora
  - Kašnjenje
  - Vreme procesiranja
- $P=2, N=3 - 30 \text{ k.}$
- $P=4, N=16 - 60 \text{ k.}$

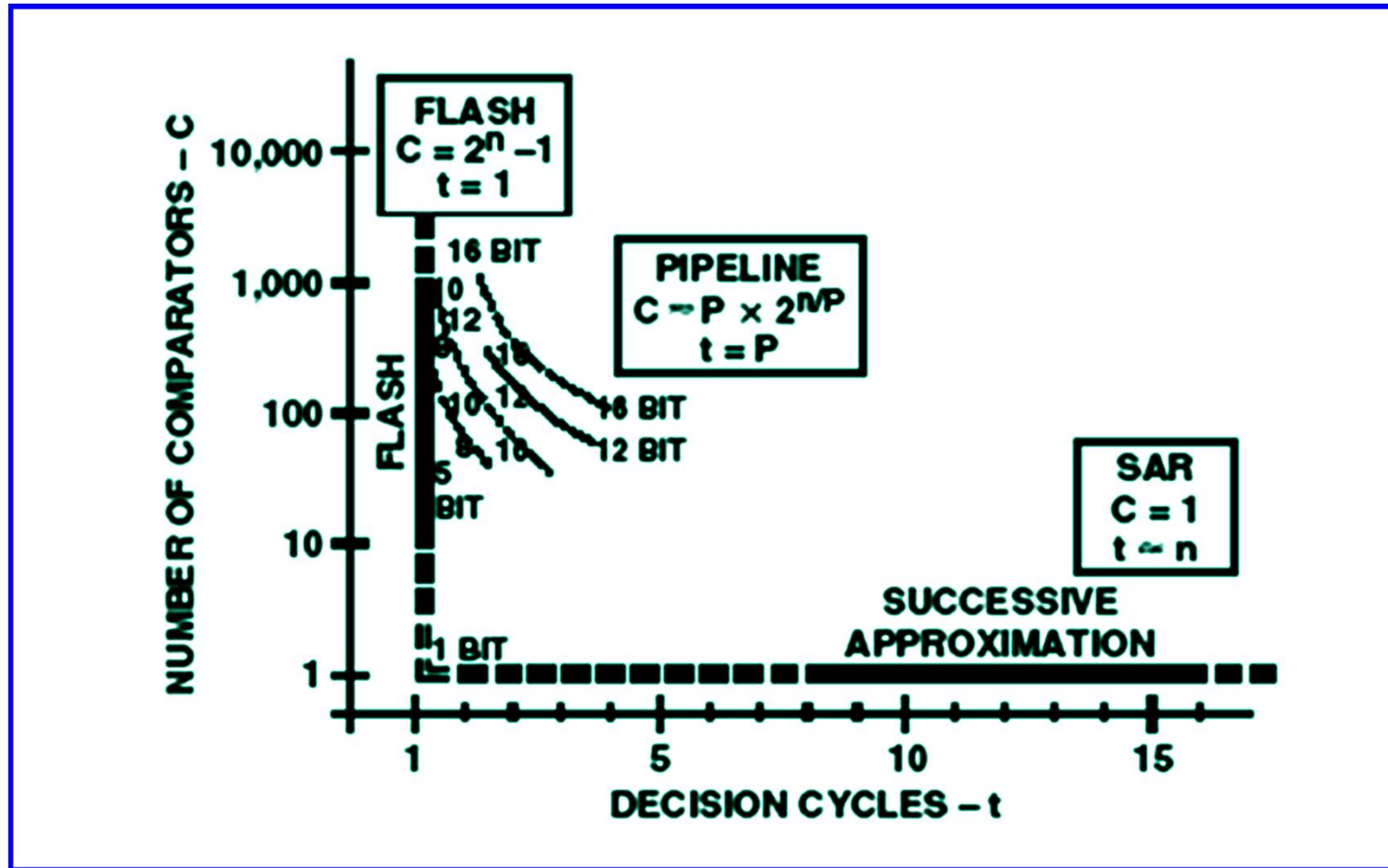


Procesiranje signala

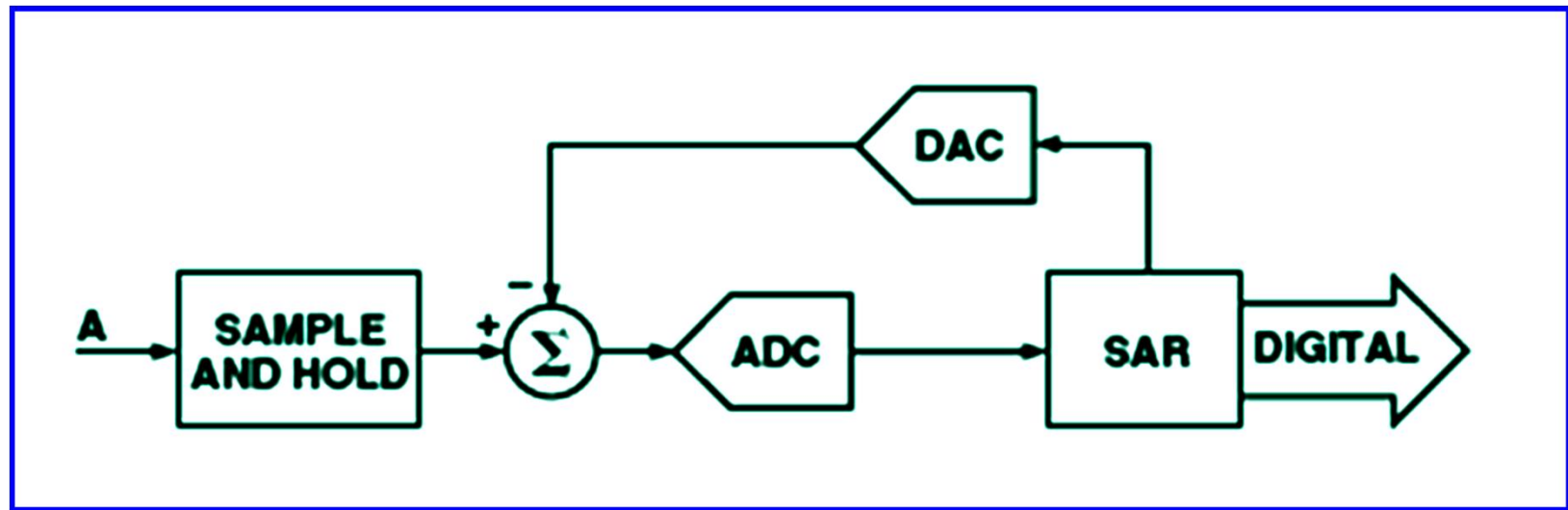
# Protočni



# Broj komparatora – broj ciklusa



# Uzastopna aproksimacija

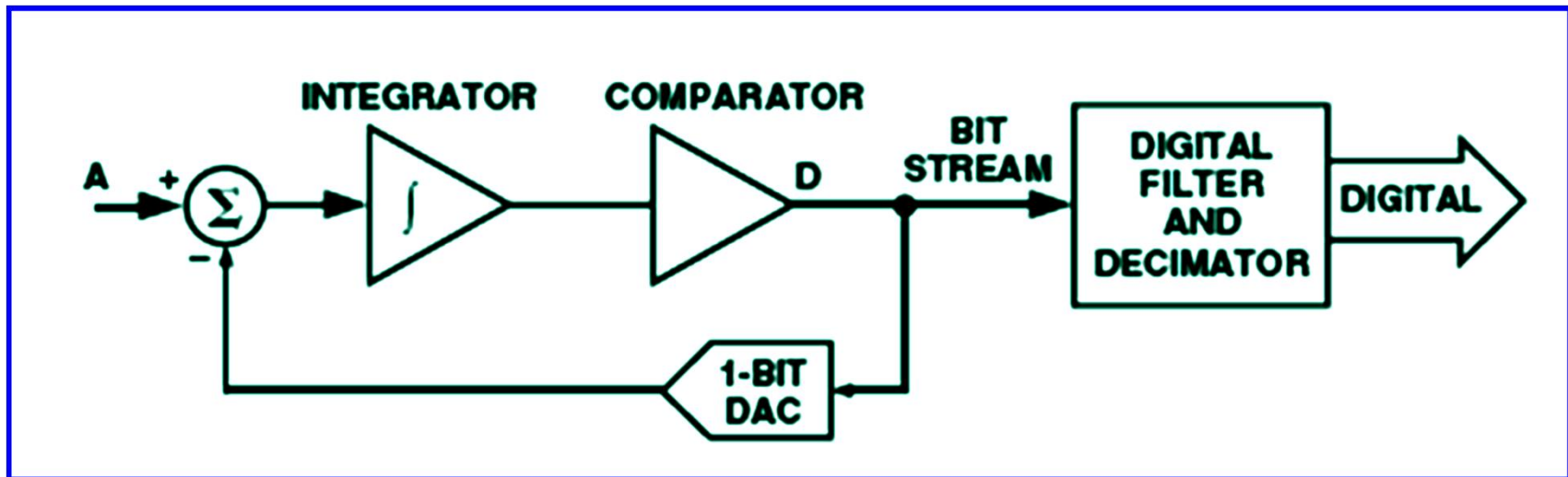


Serijski koraci se ponavljaju n puta tako da se koriste različiti težinski faktori

**Poboljšana rezolucija za 1/2bita**

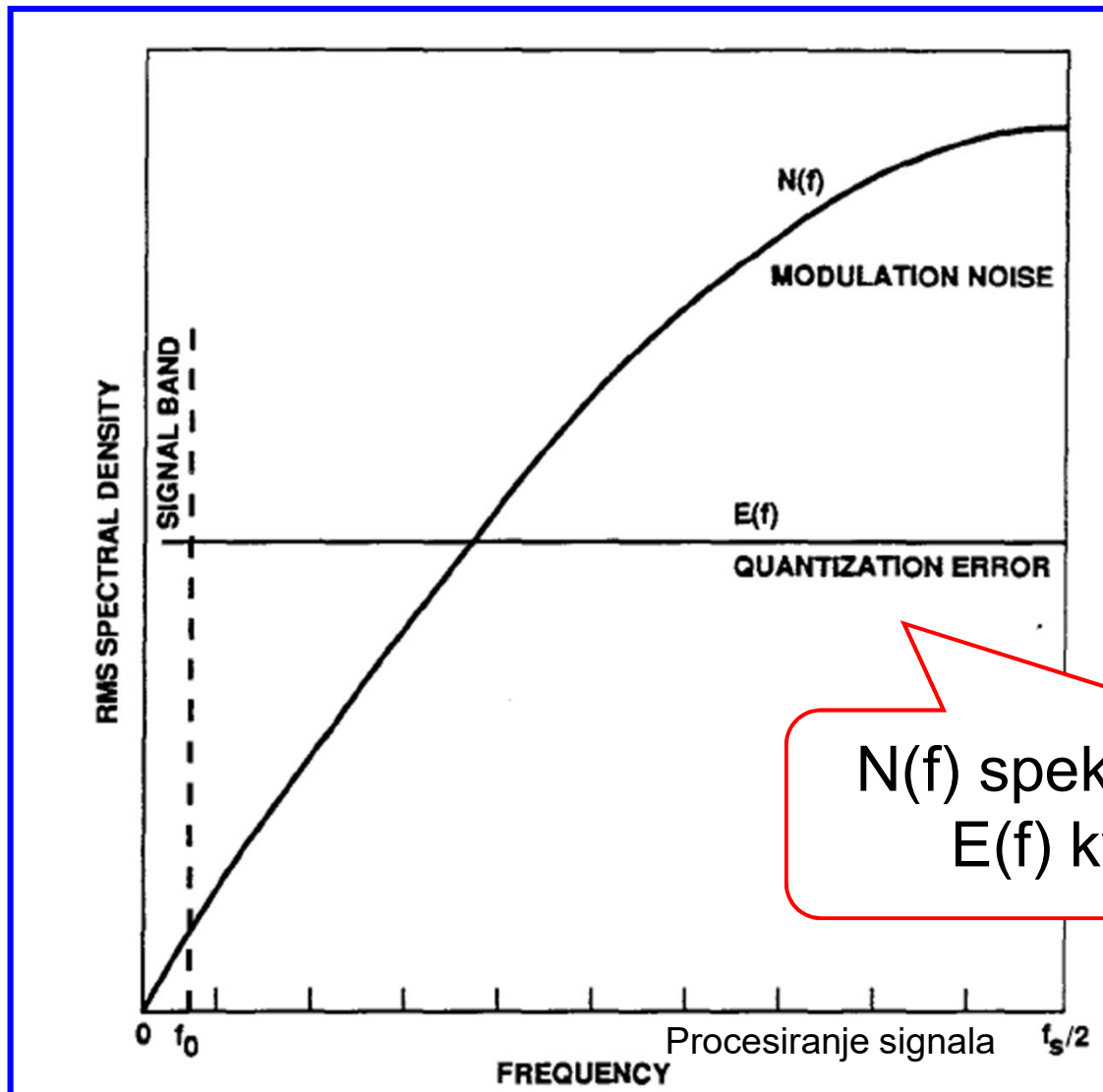
SAR successive approximations (shift) register

# Sigma-delta



Analog-to-Digital Converter Architectures and Choices for System Design, Brian Black, Analog Dialogue, 1999.

# Spektralna gustina šuma



$N(f)$  spektralna gustina šuma  
 $E(f)$  kvantizacioni šum

# Primer 1

- 4 kanala, 16 bita,  
3 opsega od 0 do 15 kHz  
1 opseg od 0 do 45 kHz
- Učestanost odabiranja  
( $2 \times 15 + 2 \times 15 + 2 \times 15 + 2 \times 45$ ) kHz = 180 kHz

Converter	Architecture	Total Throughput (16-Bit Resolution)	Effective Multiplexed Throughput	Converters Needed for Application
AD974	SAR	200 kSPS	200 kSPS	1
AD7722	Sigma-Delta	195 kSPS	2.3 kSPS	4
AD9260	Pipelined/ Sigma-Delta	2500 kSPS	75 kSPS	3

Procesiranje signala

# Primer 2

- 16 kanala, 14 bita, opseg od 0 do 100 kHz
- Učestanost odabiranja  
( $2 \times 100 \times 16$ ) kHz = 3.2 MHz

Converter	Architecture	Total Throughput (14-Bit Resolution)	Effective Multiplexed Throughput	Converters Needed for Application
AD7865	SAR	416 kSPS	416 kSPS	8
AD7722	Sigma-Delta	220 kSPS	2.3 kSPS	16
AD9240	Pipelined	10 MSPS	10 MSPS	1

Procesiranje signala

# Uporedne karakteristike

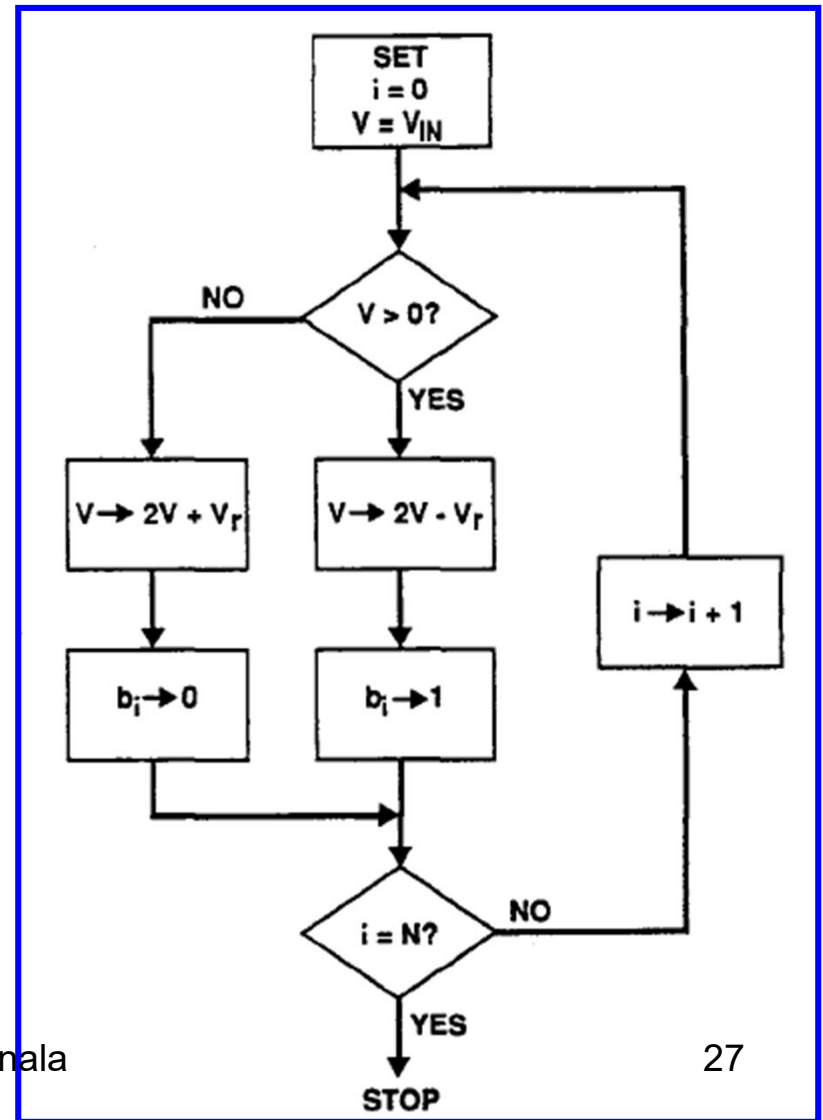
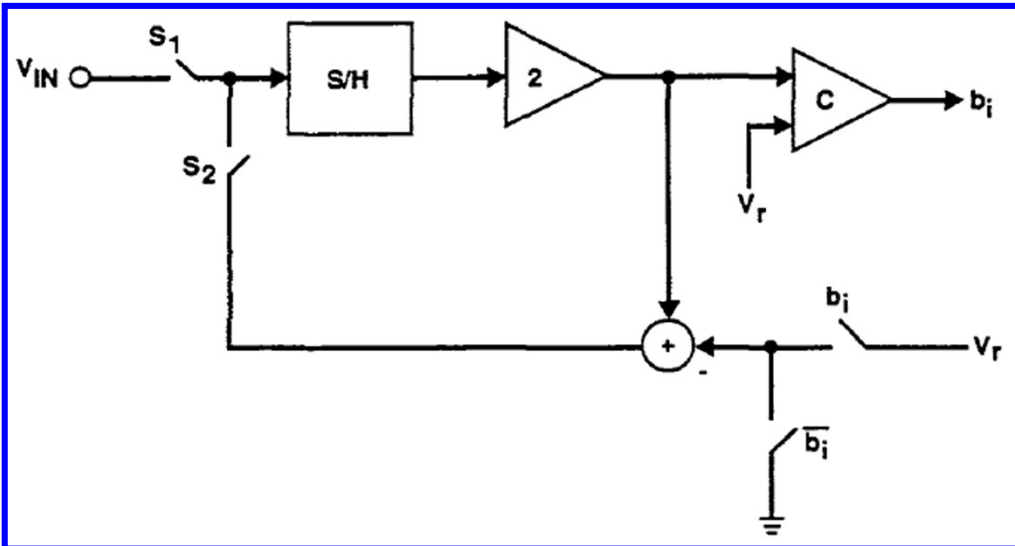
Characteristic	Flash	Pipelined	SAR	Sigma-Delta
Throughput	1	2	3	4
Resolution (ENOB)	4	3	2	1
Latency	1	3	2	4
Suitability for converting multiple signals per ADC	1	2	1	3
Capability to convert non-periodic multiplexed signals	1	2	1	3
Simplified anti-aliasing				*
Can undersample	*	*	*	
Can increase resolution through averaging (with dither noise)	*	*	*	

# Uporedne karakteristike

**TABLE 10-2 Properties of Basic ADC Architectures**

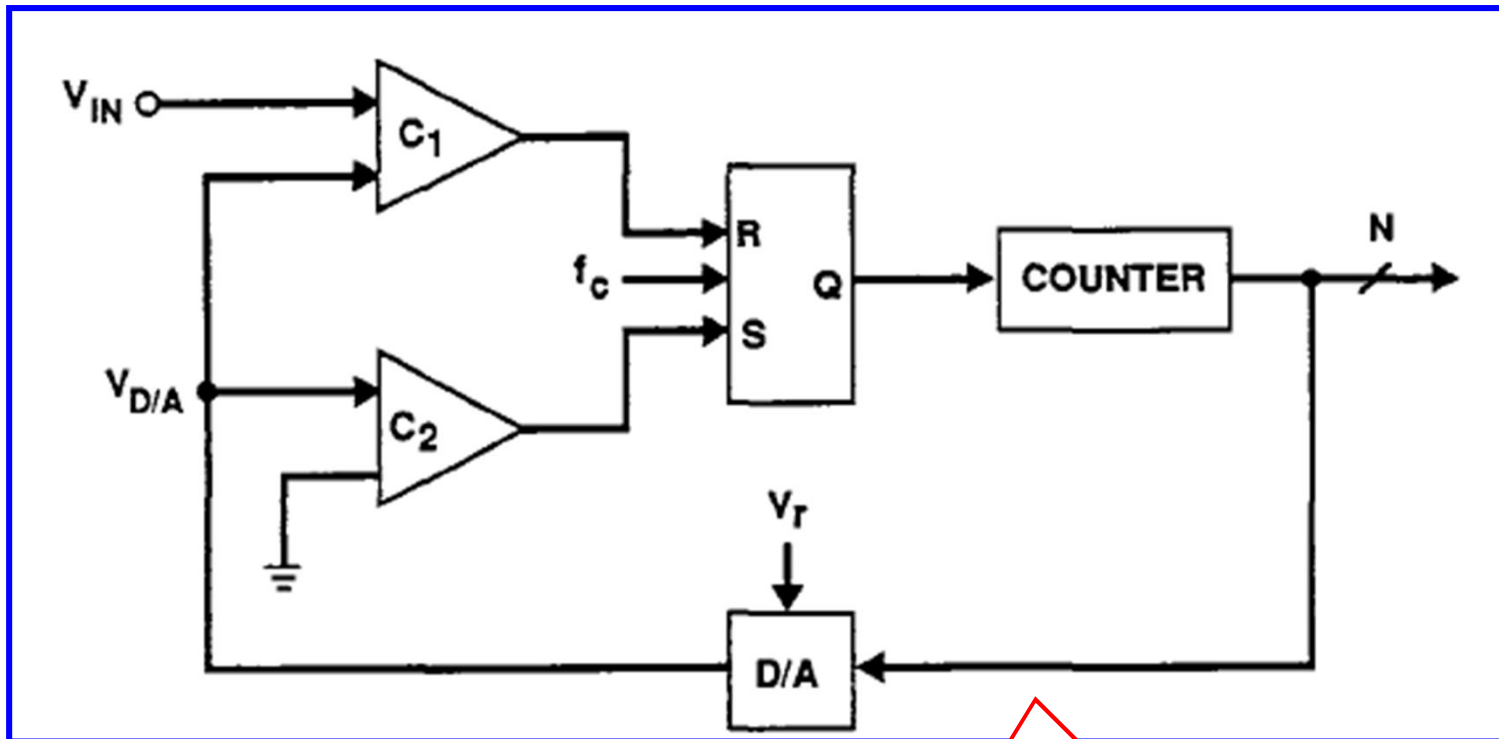
Converter Type	Minimum Number of Nyquist Periods per Sample	Typical Accuracy (bits)	Minimum Number of Analog Stages	Complexity of Digital Circuitry
Flash (half-flash)	1 (2)	8 (10)	$2^N$ ( $2^{N/2}$ )	Medium
Pipeline/multiplexing	1, also $N$ periods of delay (latency)	9	$N$	Medium
Serial	$N$	14	1	High
Oversampling	OSR $\sim$ 128	16	1	Very high
Counting	$2^N$	18	1	Medium

# Serijski



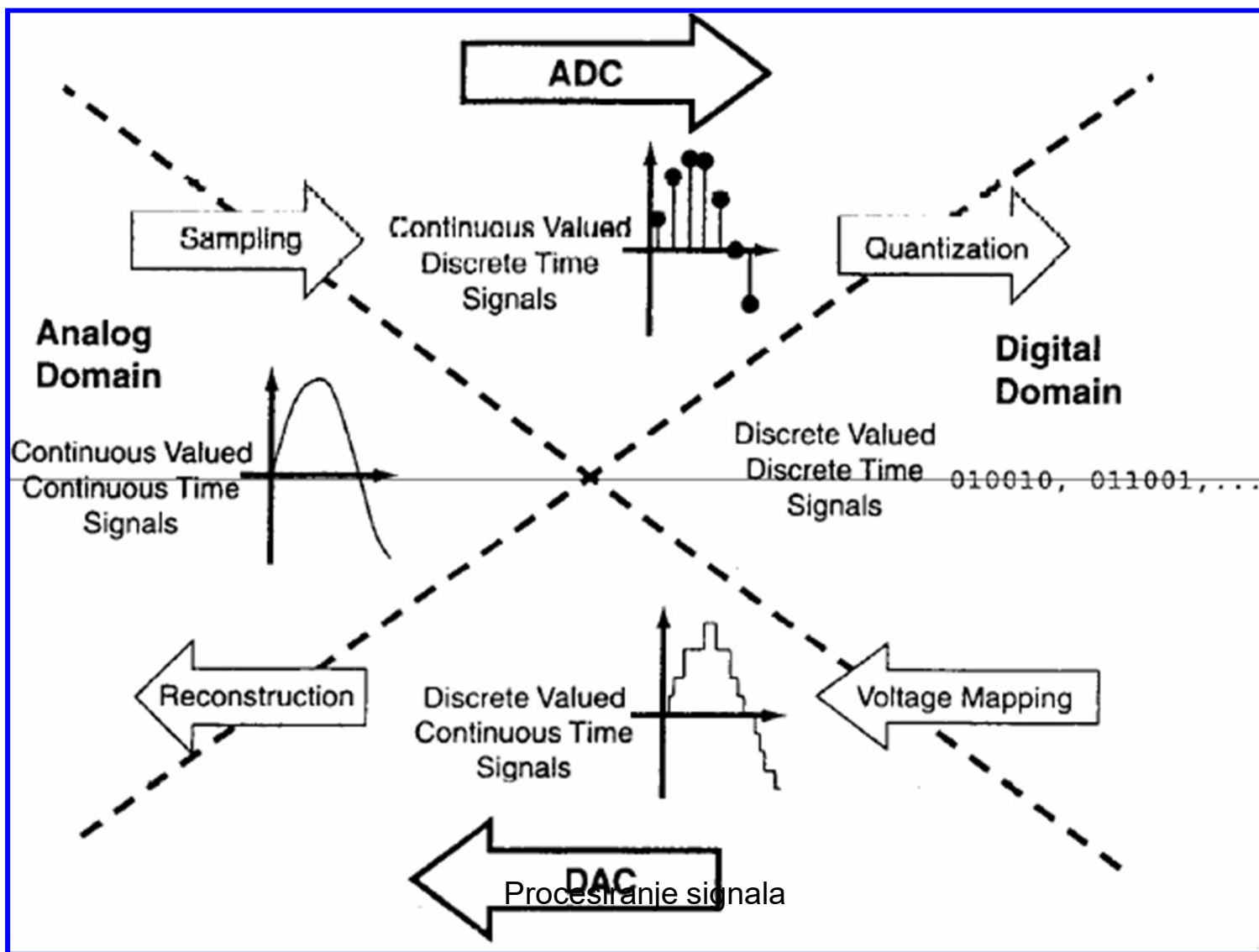
Procesiranje signala

# Sa brojanjem

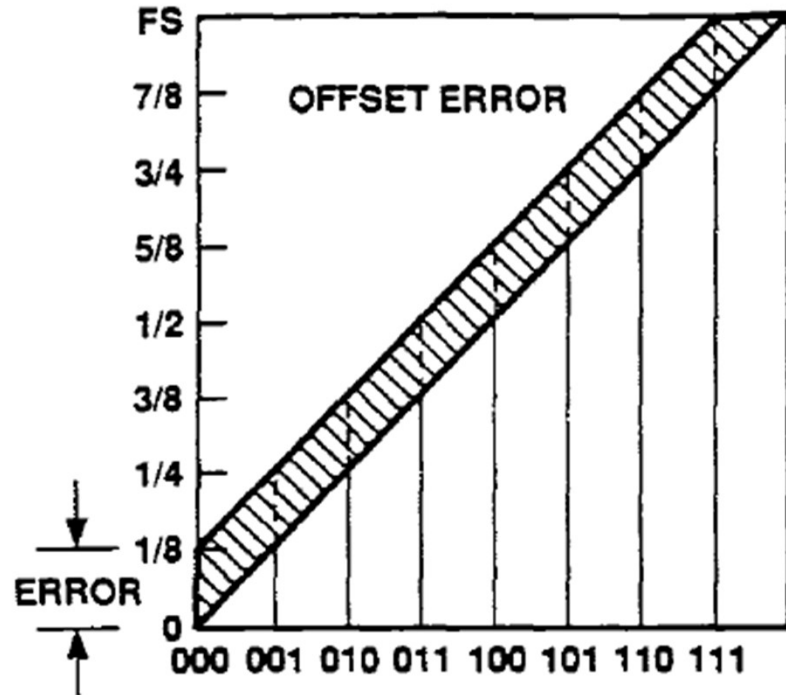


Najtačniji i  
najsporiji

# D/A pretvarači

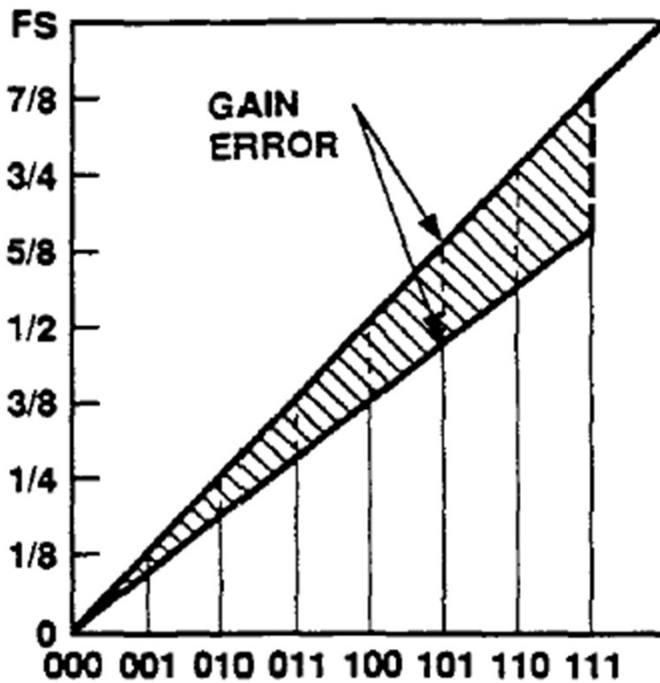


# Statičke greške



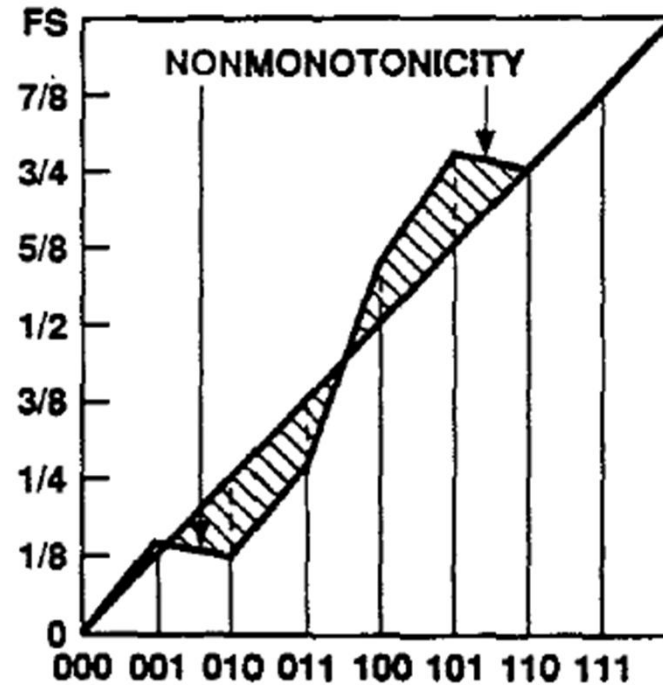
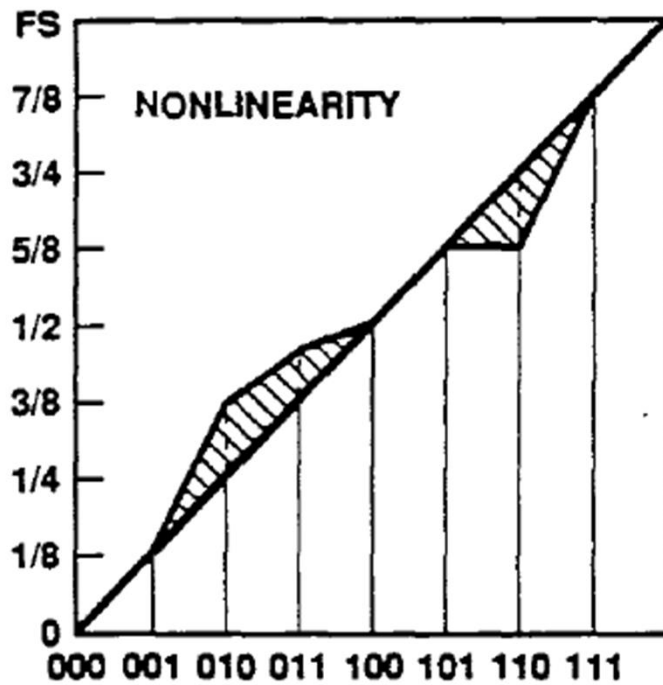
offset

# Statičke greške



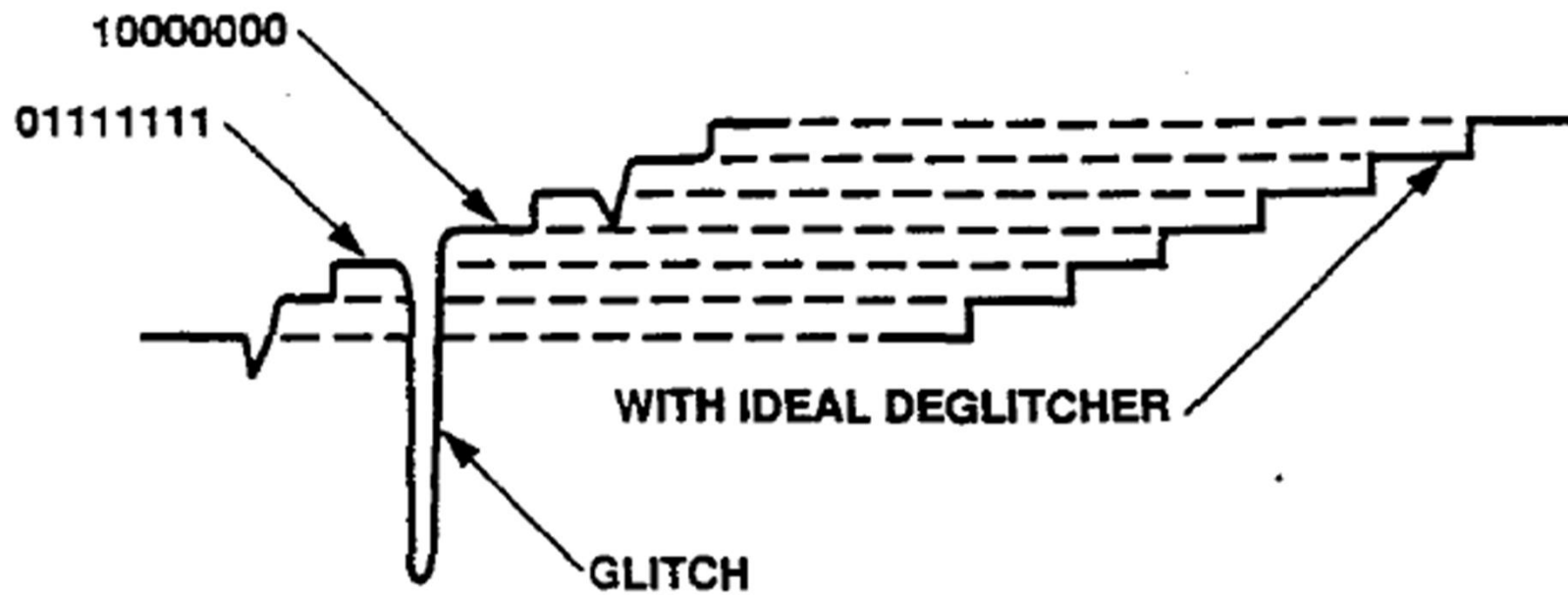
pojačanje

# Statičke greške



nelinearnost

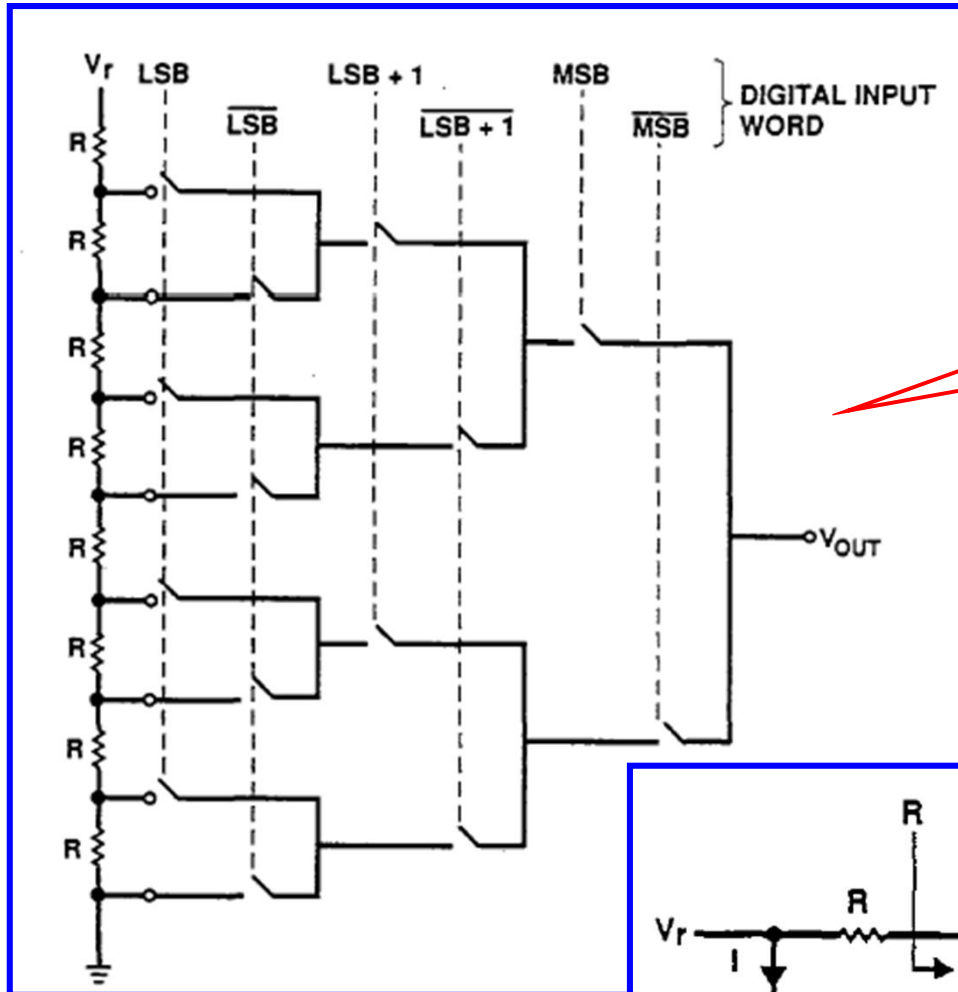
# Gličevi



# Arhitekture DAC

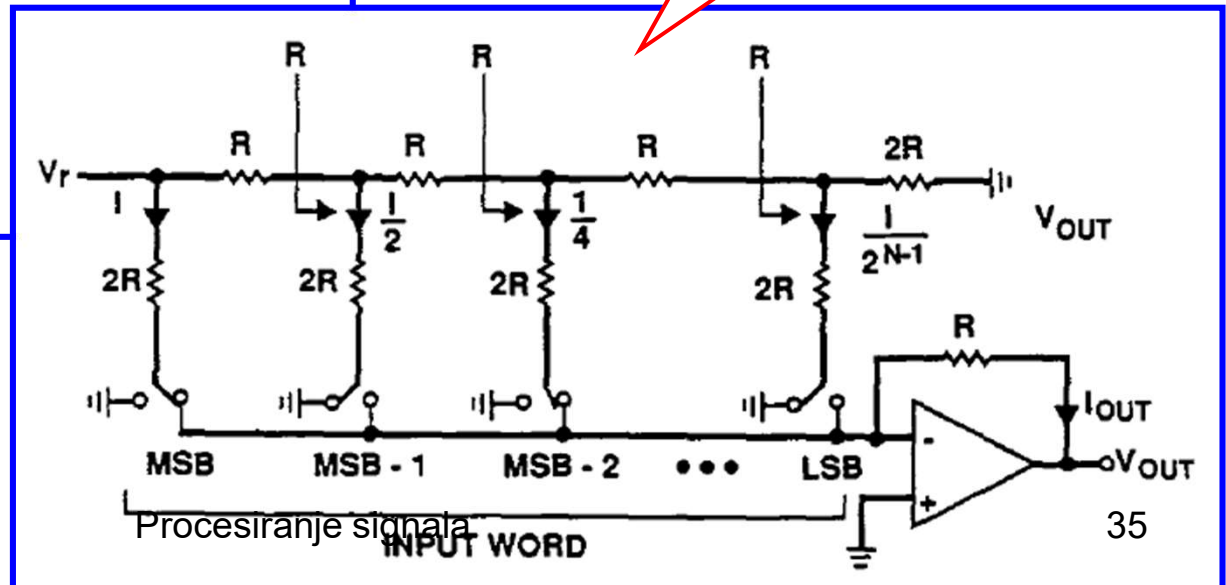
- Paralelni
- Protočni
- Serijski
- Nadodabiranje
- Sa brojanjem

# Paralelni DAC

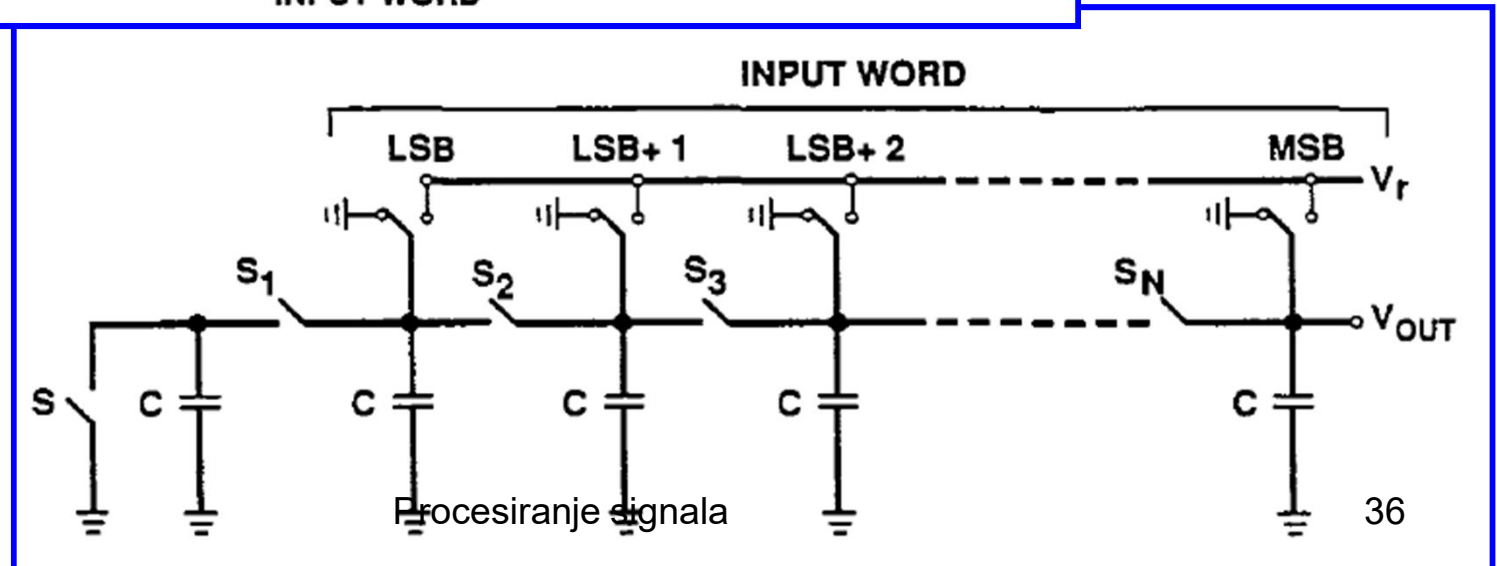
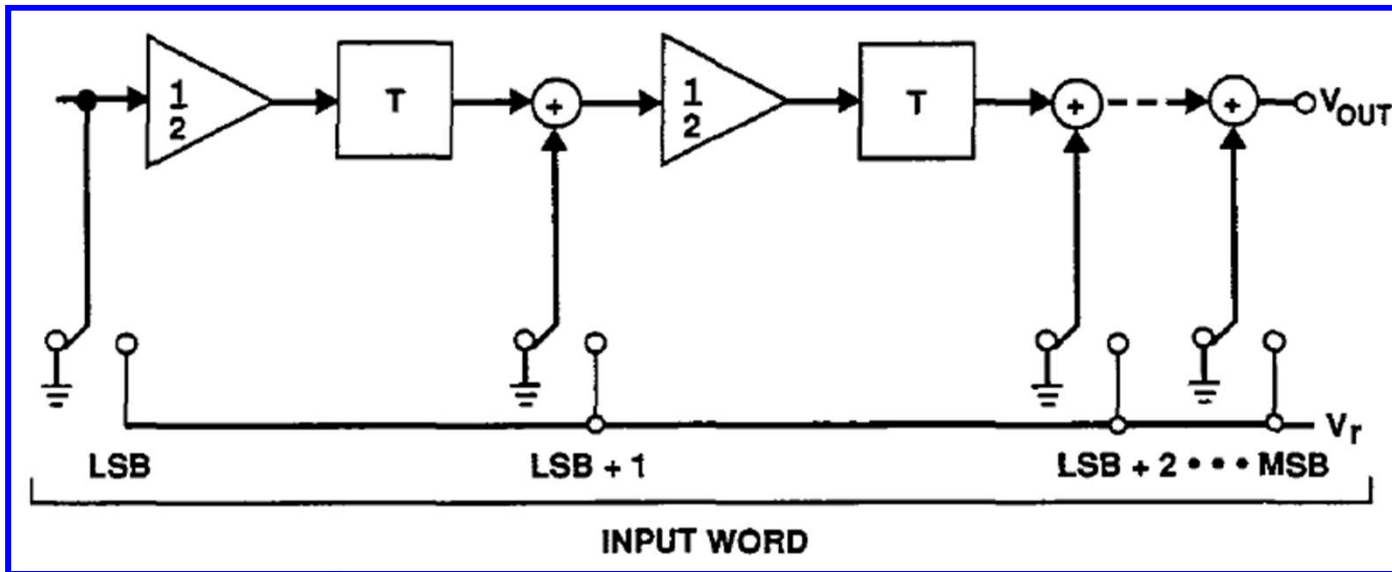


naponski

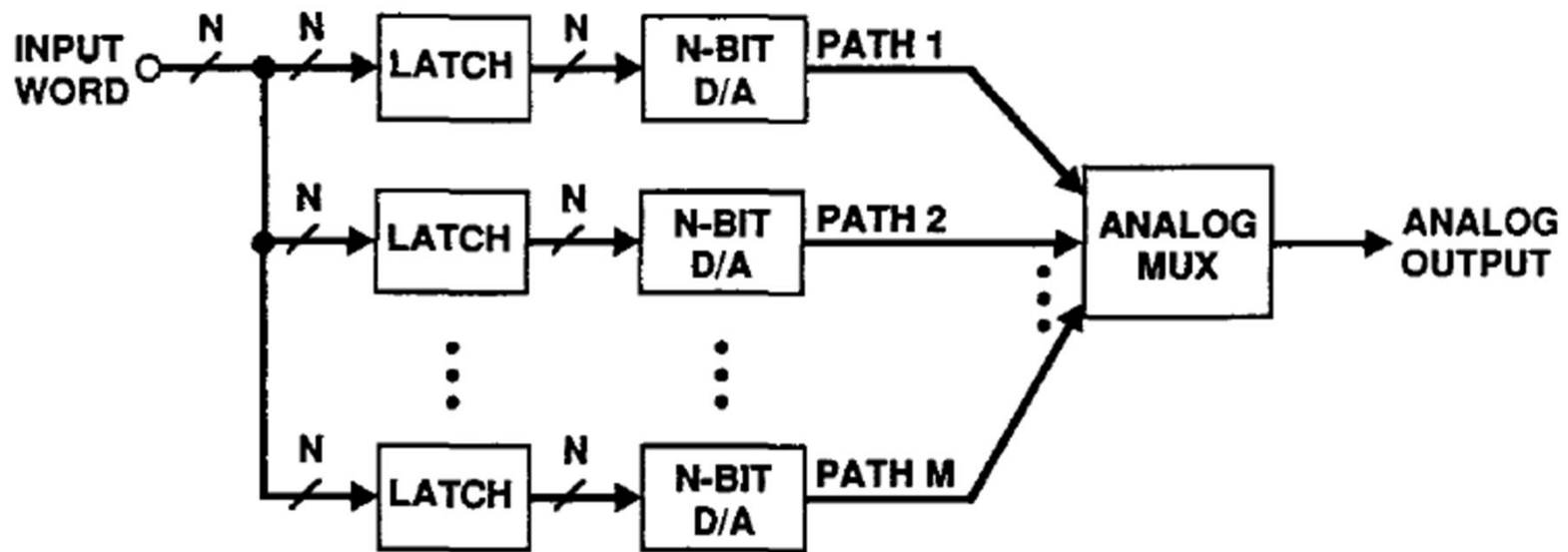
strujni



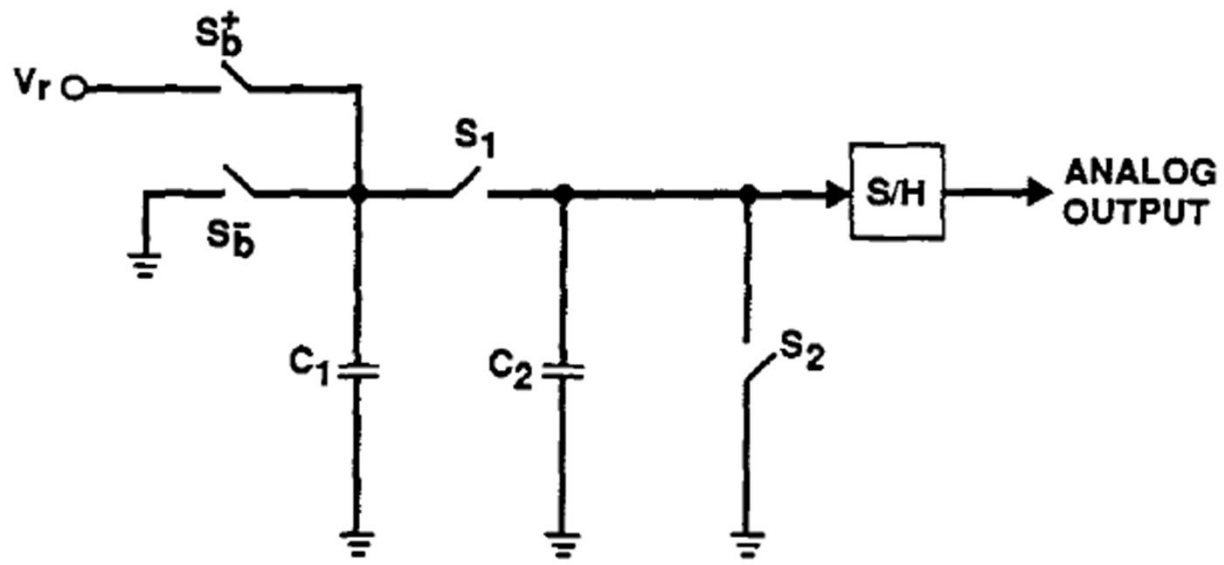
# Protočni DAC



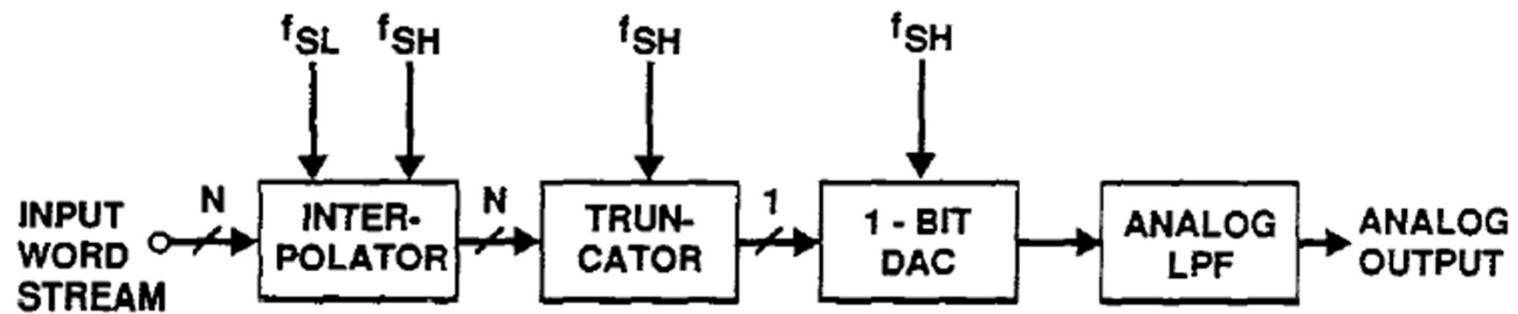
# DAC sa multipleksiranjem



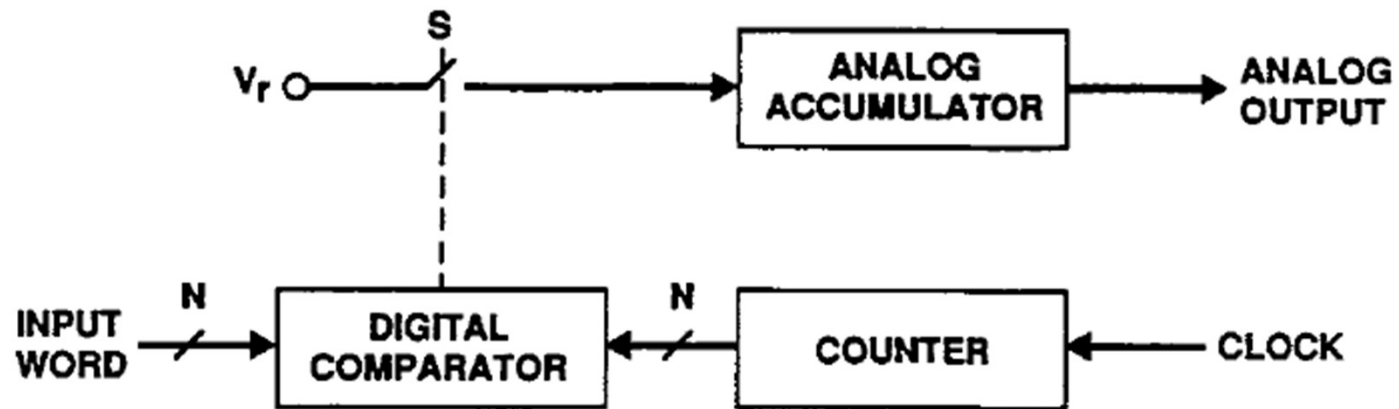
# Serijski DAC



# Sa nadodabiranjem



# DAC sa brojanjem



# Uporedne karakteristike

**TABLE 10-3 Properties of Basic DAC Architectures**

Converter Type	Minimum Number of Nyquist Periods per Sample	Typical Accuracy (bits)	Minimum Number of Analog Stages	Complexity of Digital Circuitry
Parallel	1	9	$2^N$	Medium
Pipeline/multiplexing	1, also an $N$ periods of delay (latency)	8	$N$	Medium
Serial D/A converters	$N$	10	1	High
Oversampling D/A converters	OSR $\sim$ 128	16	1	Very high
Counting D/A converters	$2^N$	18	1	Medium

# FAQ

- ADC osciluje
- ADC daje netačne rezultate
- Podešavanje ofseta i pojačanja

# ADC osciluje

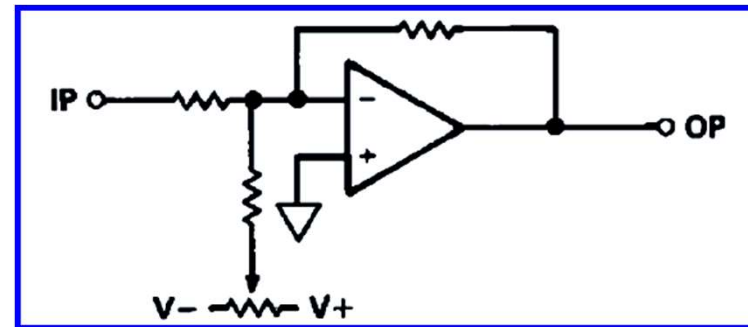
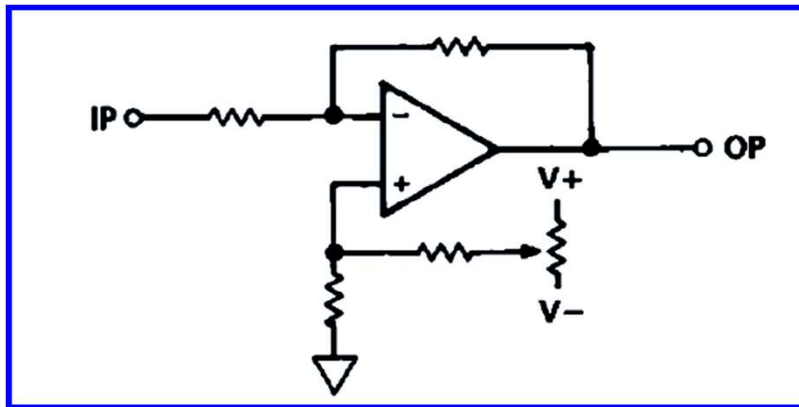
- ADC sa više kanala – ulaza osciluje
- ADC sa multipleksiranim ulazima mora da ima sve ulaze, koji se ne koriste, na masu

# ADC ne radi tačno

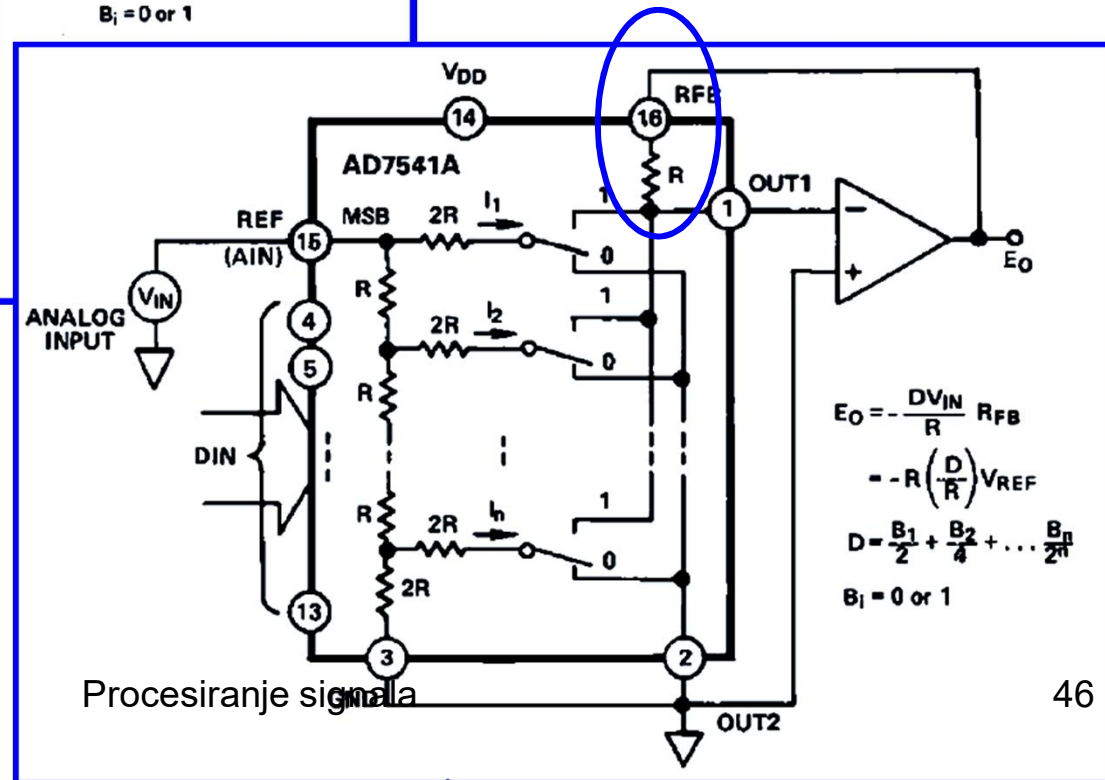
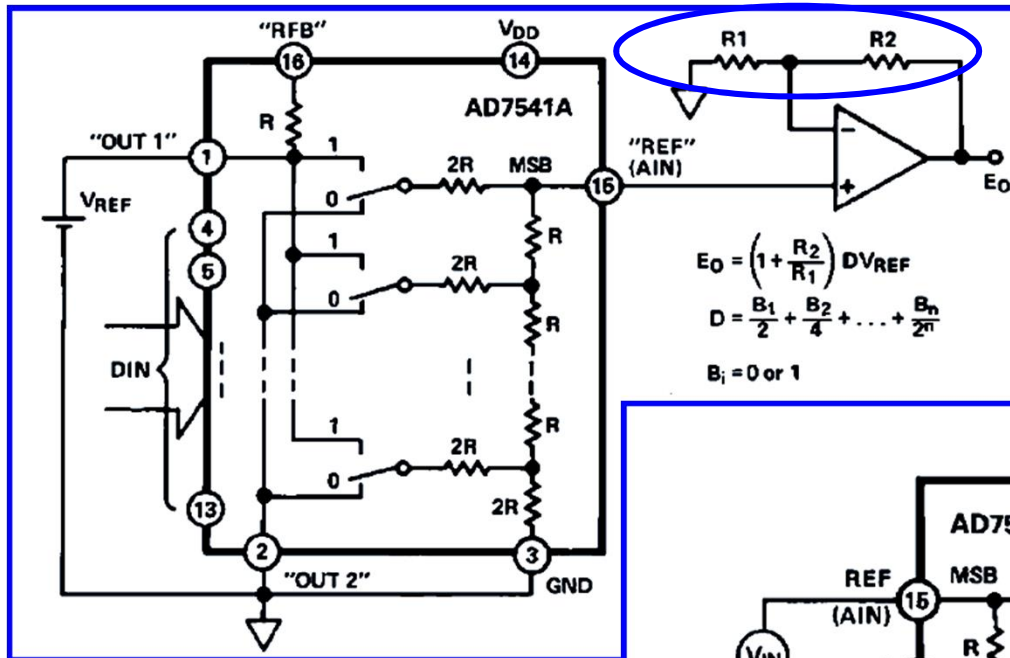
- U power safe vrsti rada – ne radi tačno kada se uključi
- Posle vraćanja u normalan rad, dva merenje da budu da bi se stabilizovao, pa tek od trećeg da se koriste rezultati

# Podešavanje ofseta i pojačanja

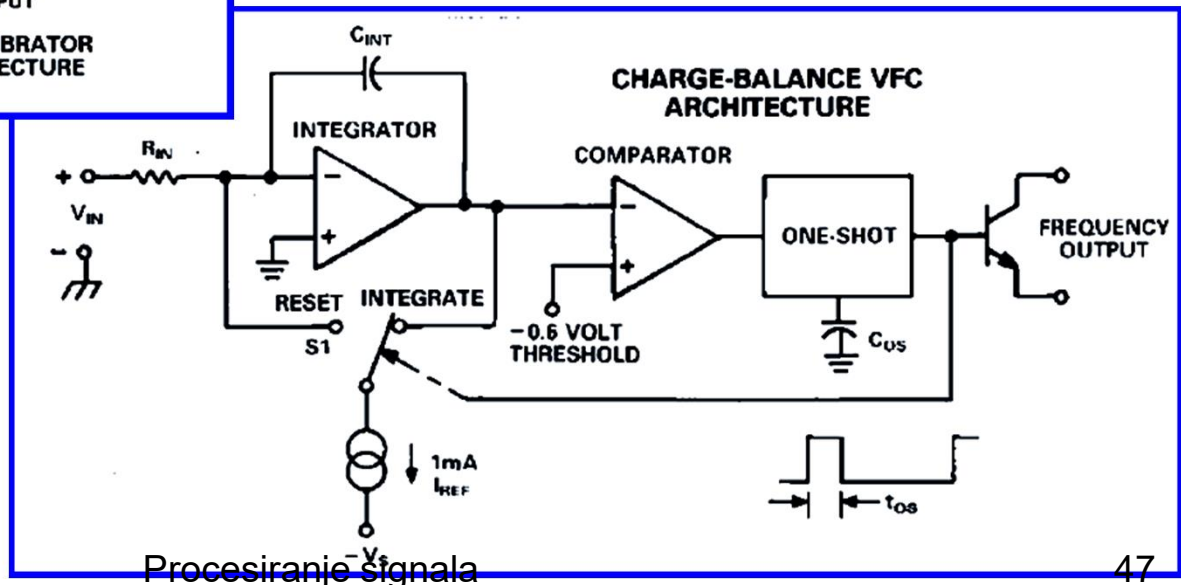
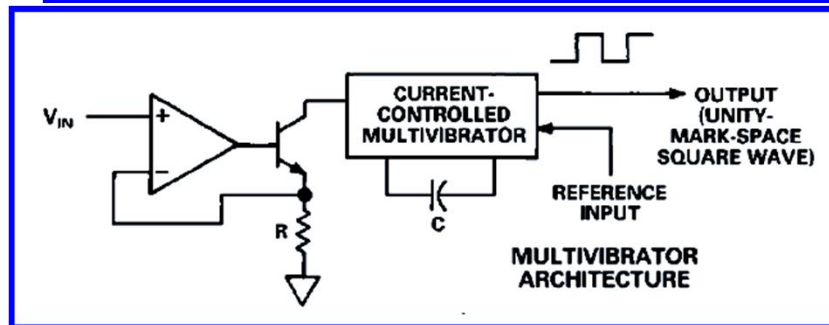
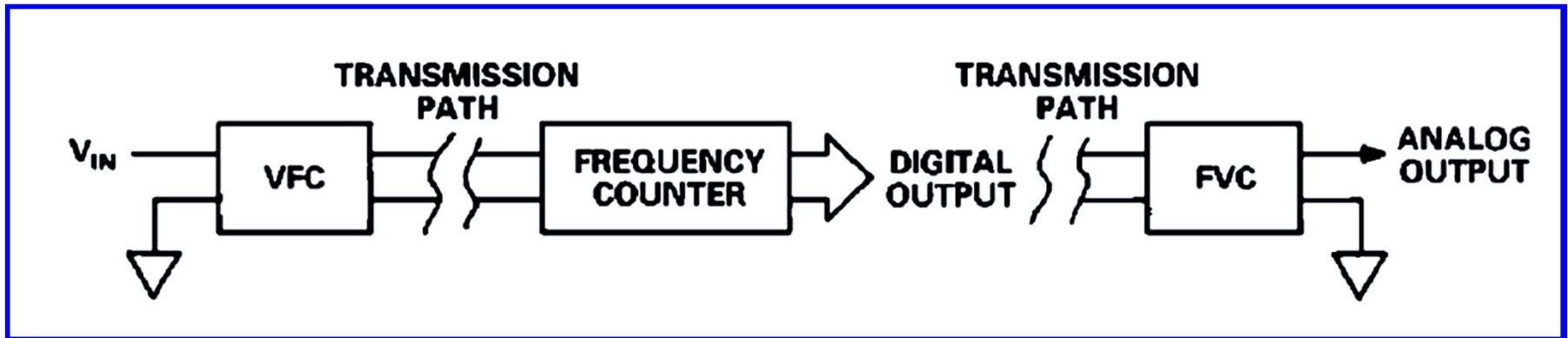
- Ne preporučuje se ručno podešavanje ofseta i pojačanja, već korišćenje automatizovanog sklopa



# Podešavanje za DAC

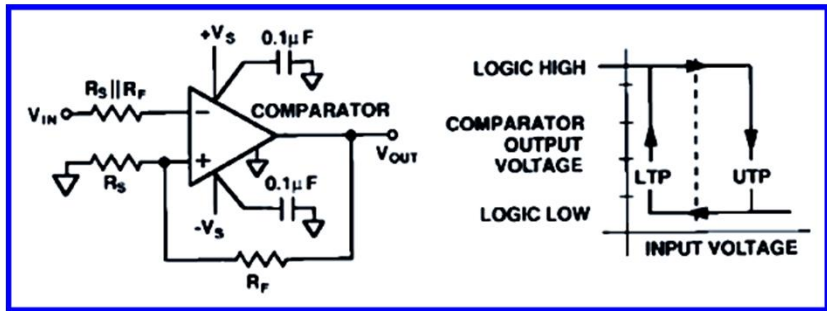
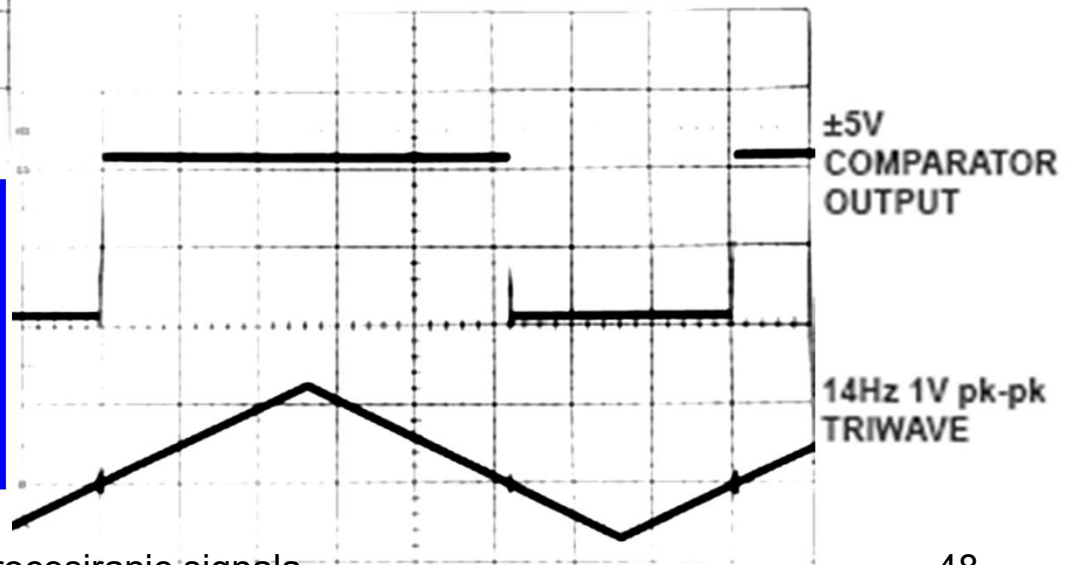
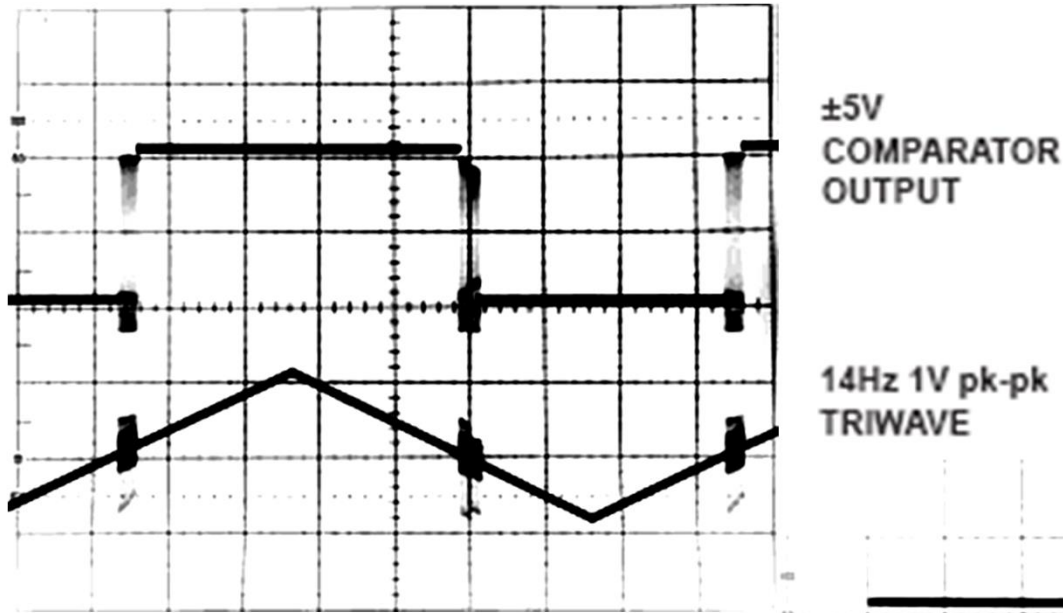


# Kako se šalje analogni signal na veće daljine?



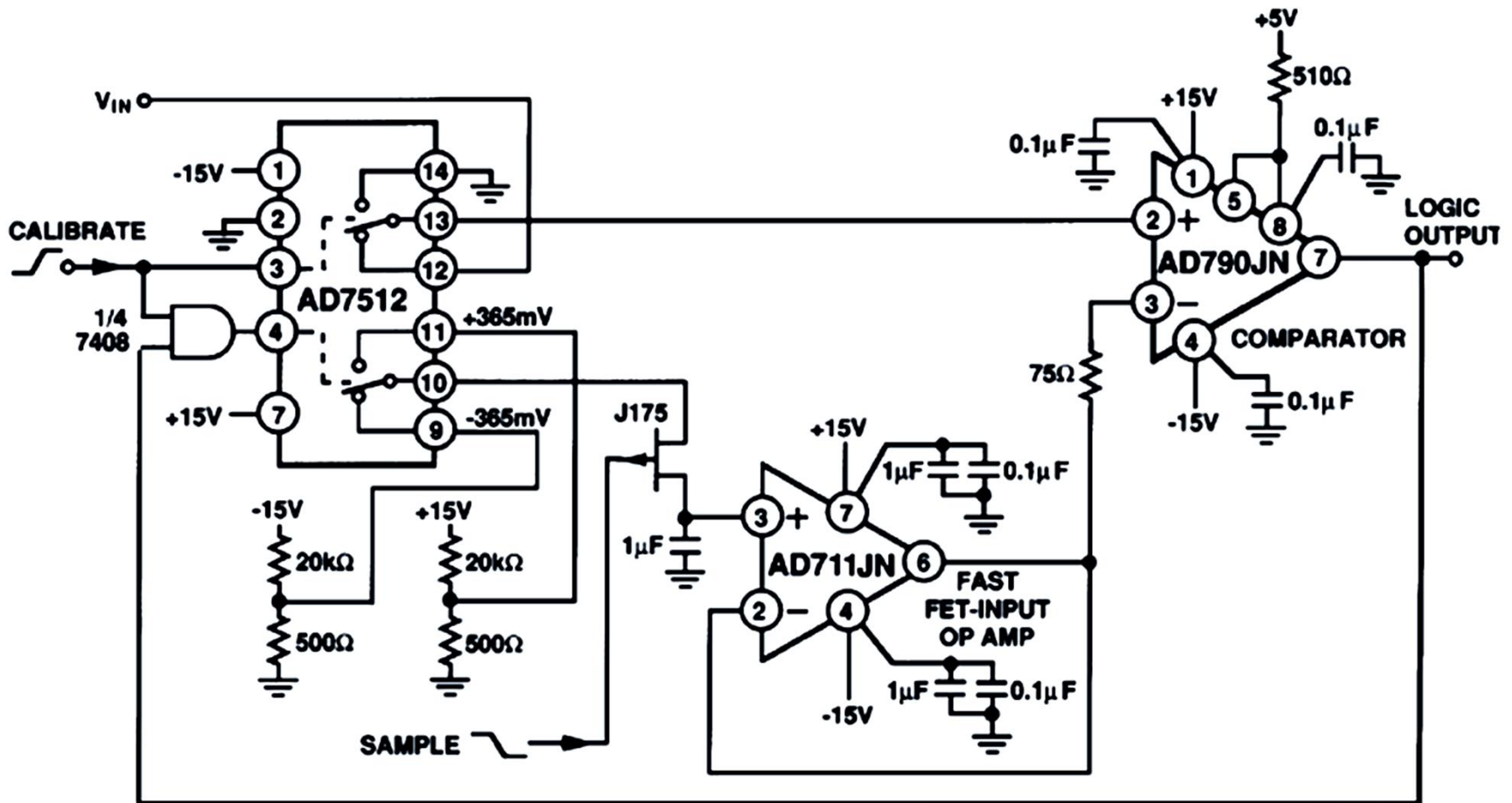
Procesiranje signala

# Potreban histerezis

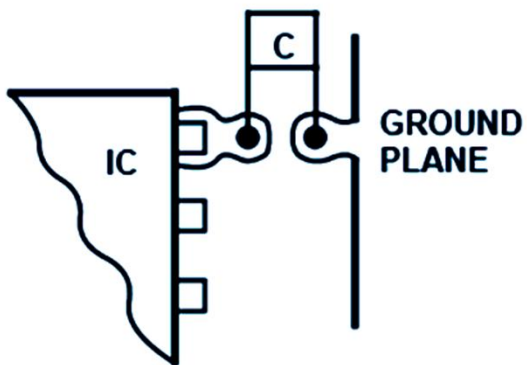


Procesiranje signala

# Auto-zero



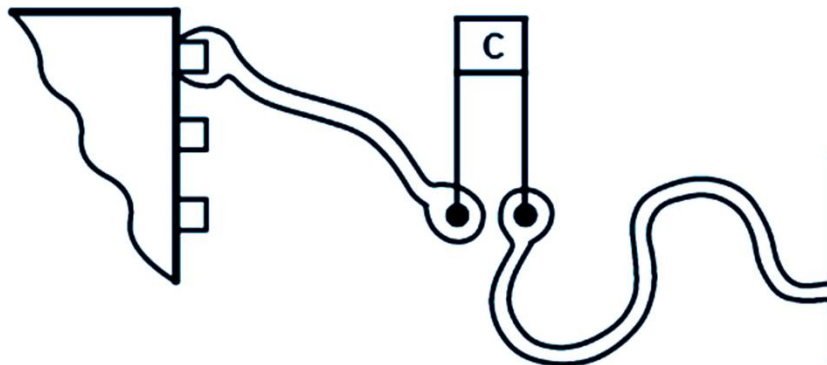
# Kondenzator



## IDEAL HF DECOUPLING HAS

1. LOW INDUCTANCE CAPACITOR (MONOLITHIC CERAMIC)
2. MOUNTED VERY CLOSE TO THE IC
3. WITH SHORT LEADS
4. AND SHORT, WIDE PC TRACKS

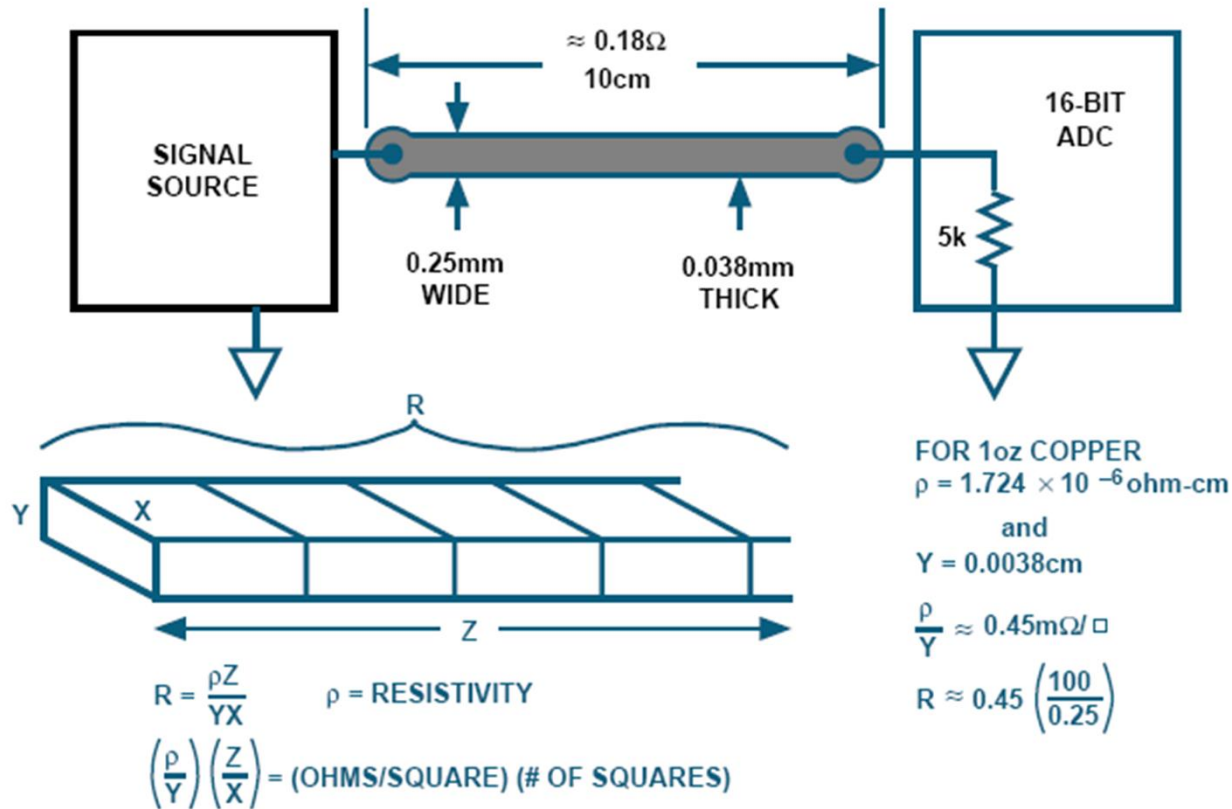
IT MAY BE SHUNTED WITH A TANTALUM BEAD ELECTROLYTIC TO PROVIDE GOOD LF DECOUPLING AS WELL.



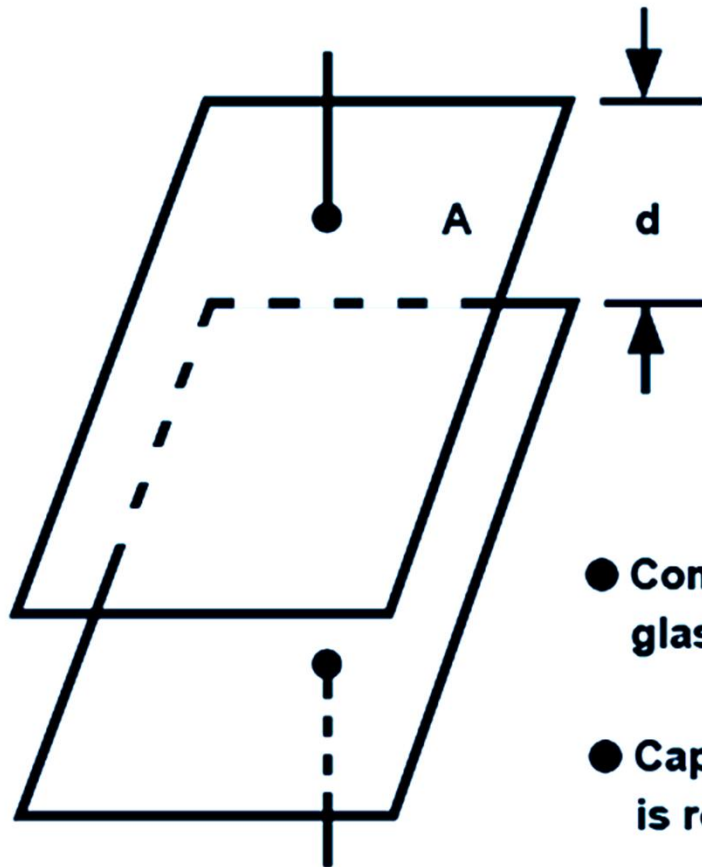
**THIS SORT OF THING IS USELESS!**

# Parazitni uticaji

OHM'S LAW PREDICTS 1 LSB DROP IN 5cm OF STANDARD PCB TRACK – BUT WHO BELIEVES OHM'S LAW?



# Parazitni uticaji



$$C = \frac{0.00885 E_r A}{d} \text{ pF}$$

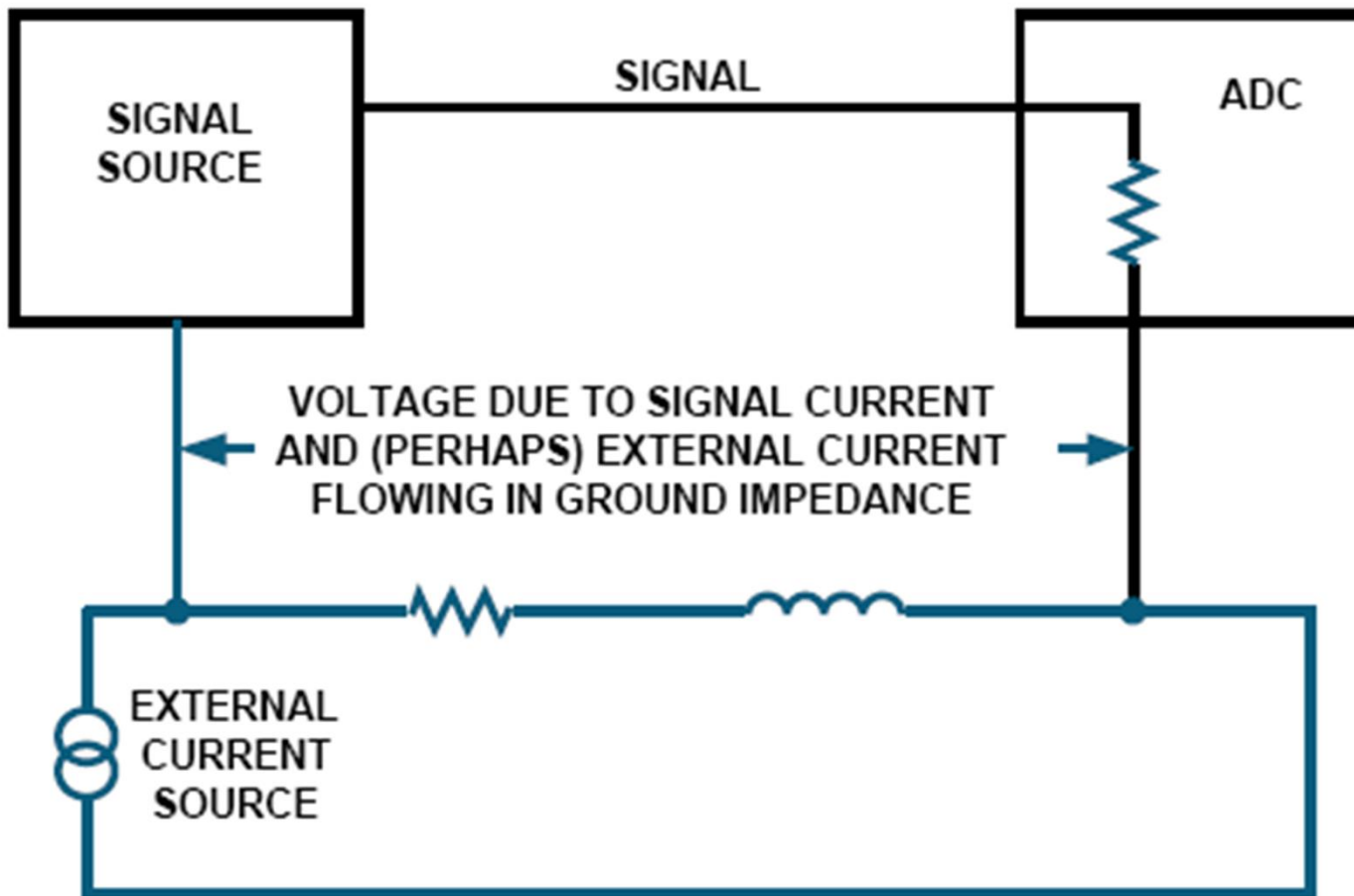
$A$  = plate area in  $\text{mm}^2$

$d$  = plate separation in mm

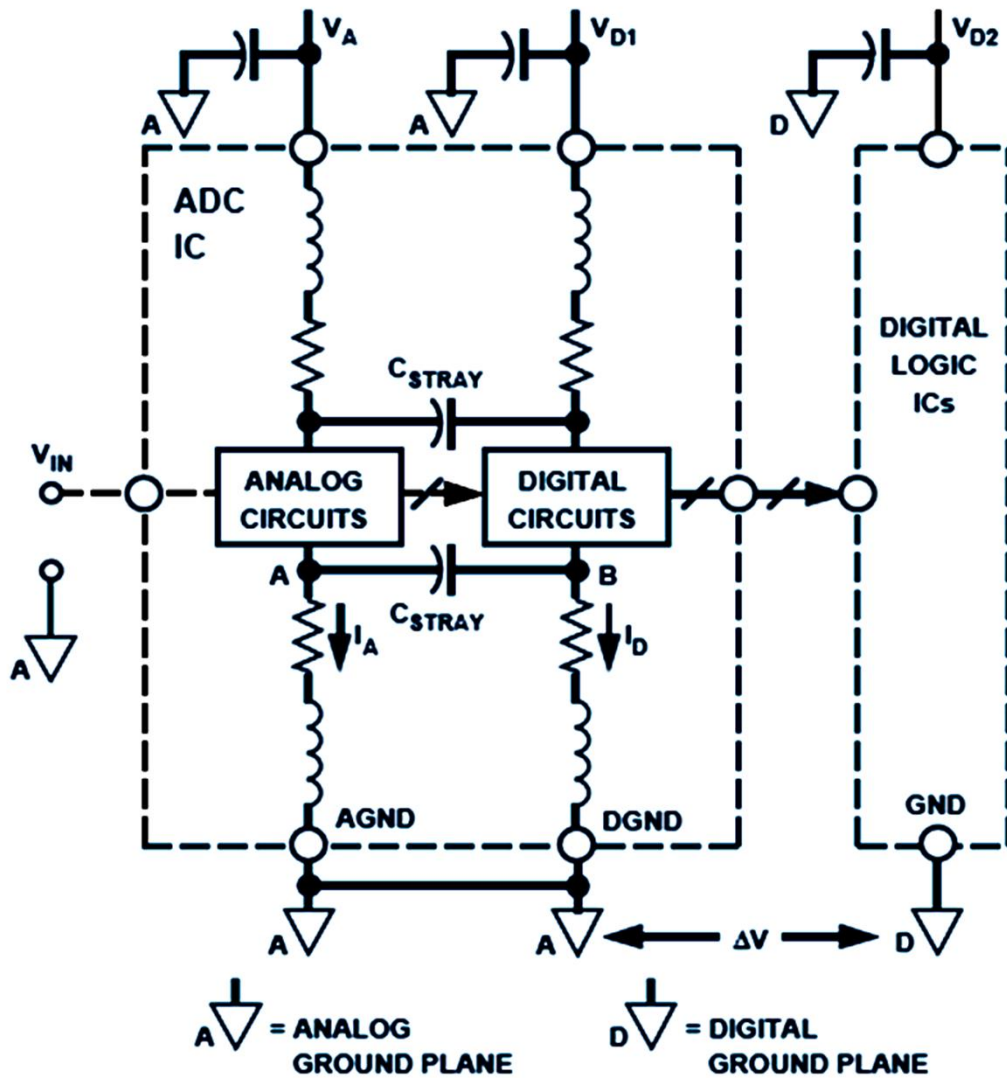
$E_r$  = dielectric constant relative to air

- **Commonest type of PCB uses 1.5mm glass-fiber epoxy material with  $E_r = 4.7$**
- **Capacity of PC track over ground plane is roughly  $2.8\text{pF}/\text{cm}^2$**

# Parazitni uticaji

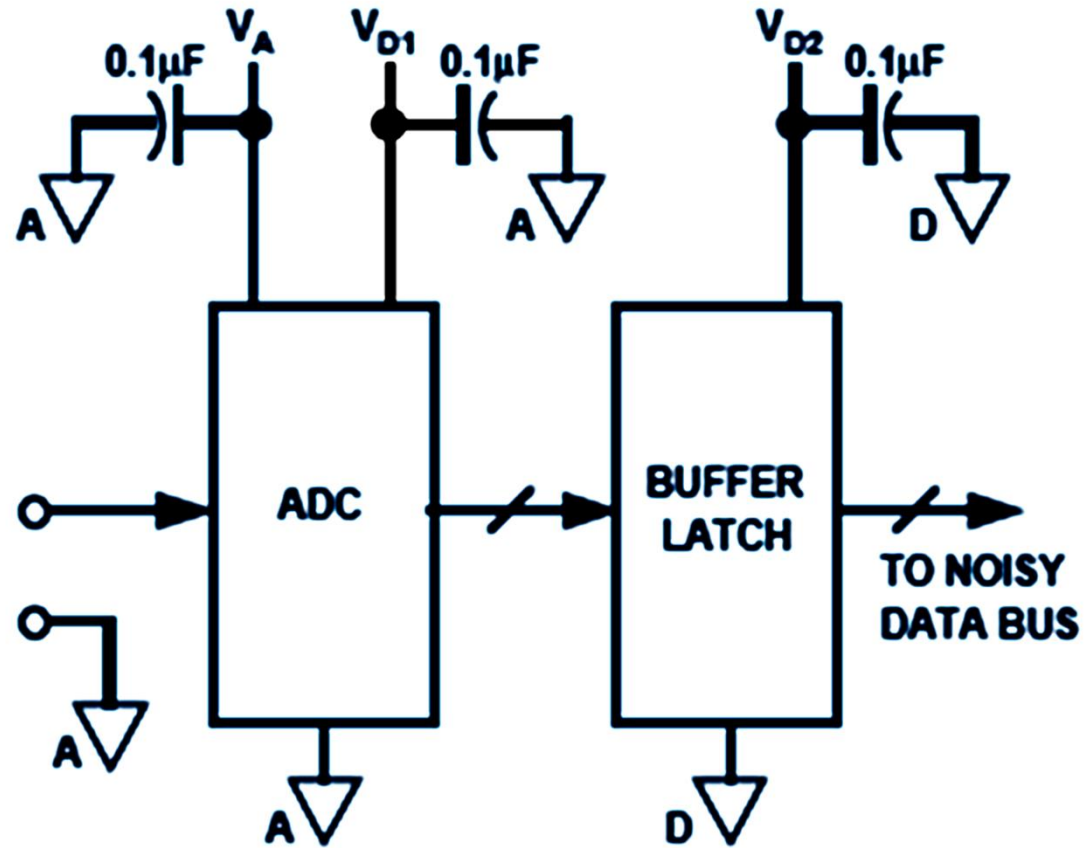


# Ground



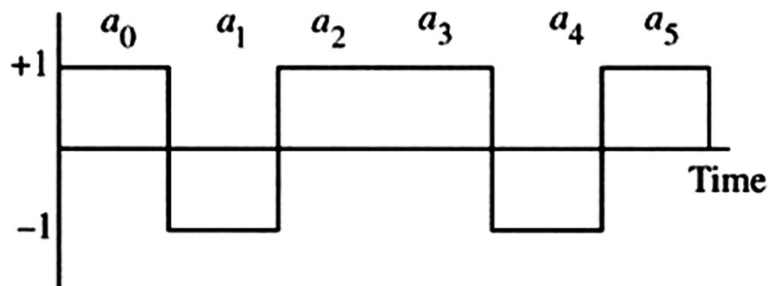
Procesiranje signala

# Bafer



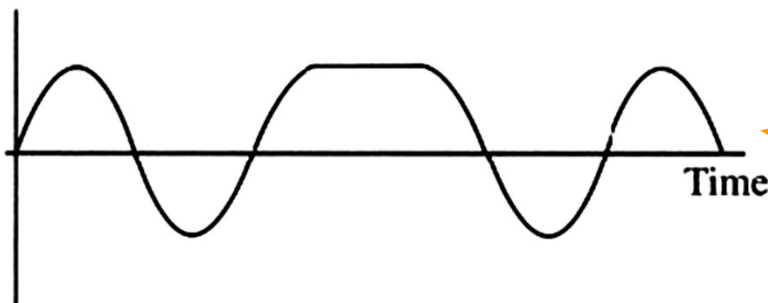
# Prenos binarnih digitalnih podataka

- Binarni podaci mogu da se prenose serijski signalima koji imaju vrednosti +1 i -1



(a)

Poslat signal



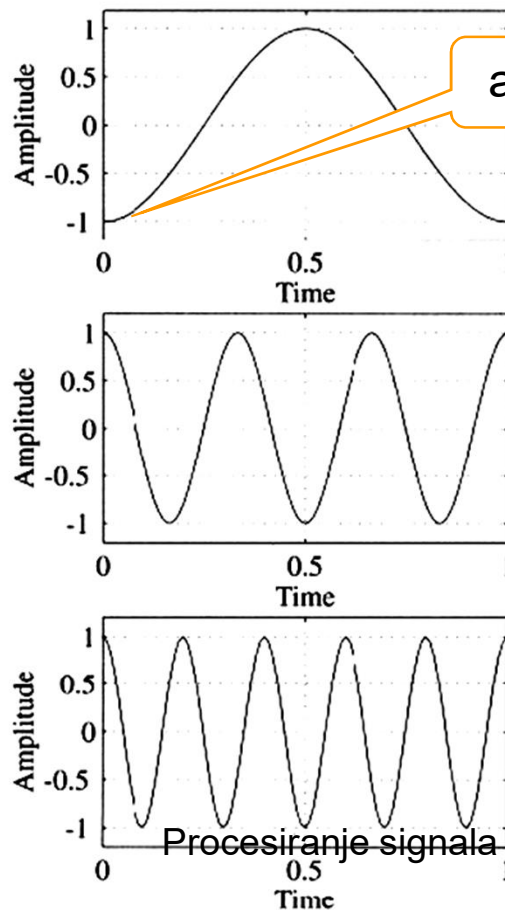
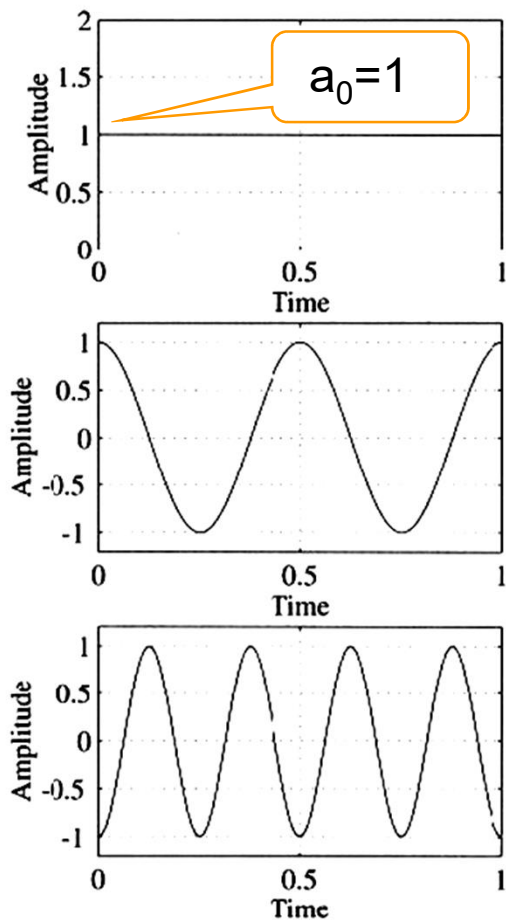
(b)

Primičen signal je drugačiji zbog nesavršenosti kanala i ograničenog frekvencijskog opsega. Potrebna složena procedura ekvilizacije funkcije prenosa kanala.

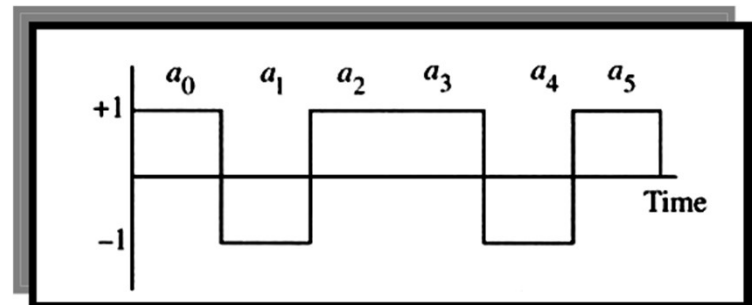
Procesiranje signala

# Višetonski prenos digitalnih podataka

- N binarnih cifara se moduliše svojim nosiocem i sabira
- Prijemnik – koherentni demodulatori



DMT  
Discrete  
Multitone  
Transmission



Procesiranje signala

# DMT - discrete multitone transmission

$$\{a_k[n]\}, \{b_k[n]\}, \quad 0 \leq k \leq M - 1$$

Realni signali (sekvence)  
učestanost odabiranja  $F_T$

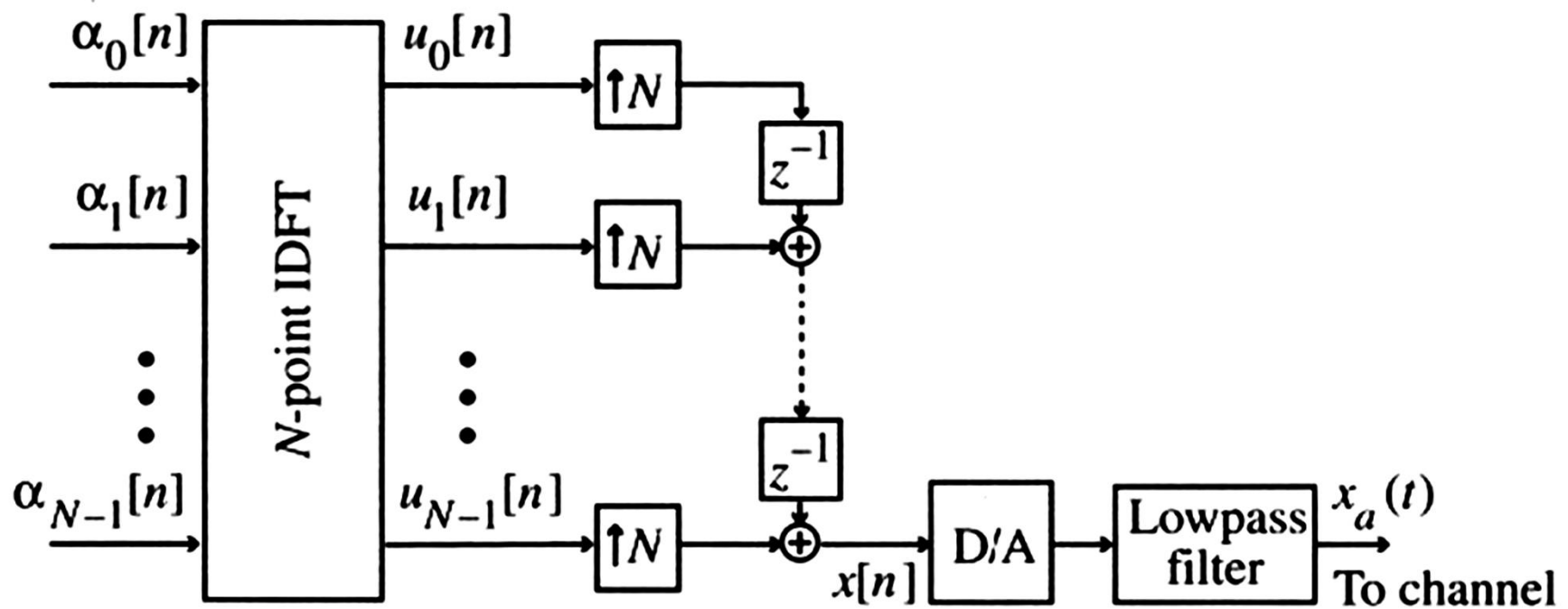
$$\alpha_k[n] = \begin{cases} a_0[n] & k = 0 \\ a_k[n] + jb_k[n] & 1 \leq k \leq N/2 - 1 \\ b_0[n] & k = N/2 \\ a_k[n] - jb_k[n] & N/2 + 1 \leq k \leq N - 1 \end{cases} \quad N = 2M$$

IDFT

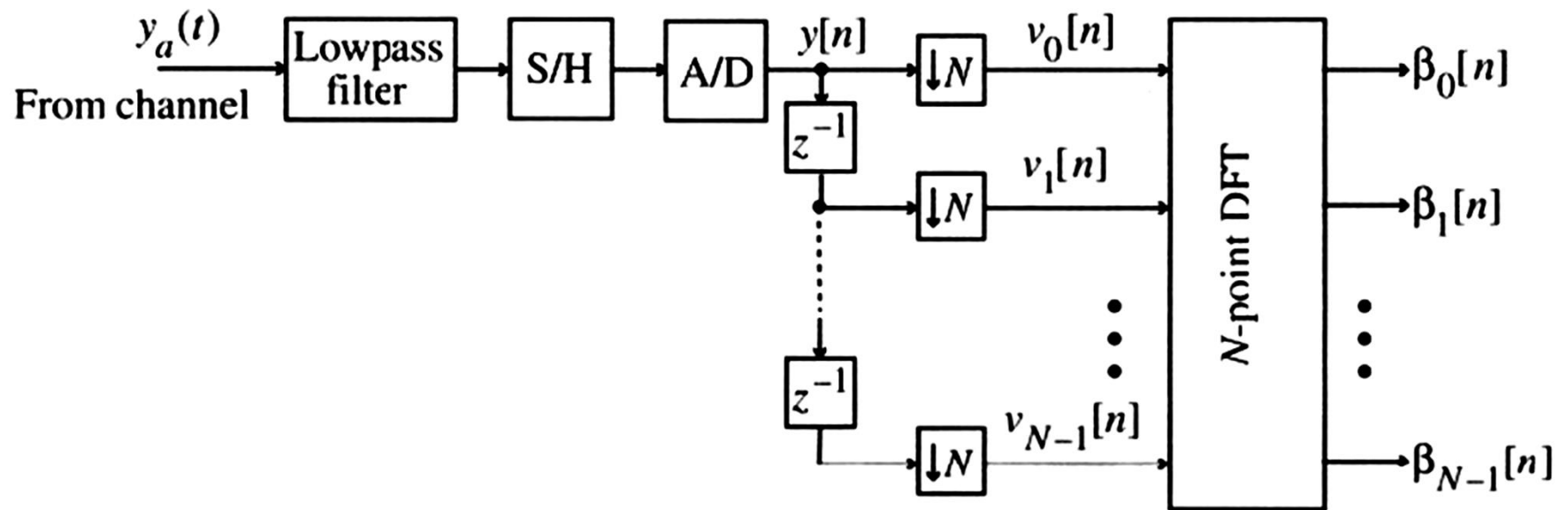
$$u_l[n] = \frac{1}{N} \sum_{k=0}^{N-1} \alpha_k[n] W_N^{-lk}, \quad 0 \leq l \leq N - 1$$

$$W_N = e^{-j2\pi/N}$$

# DMT - predajnik



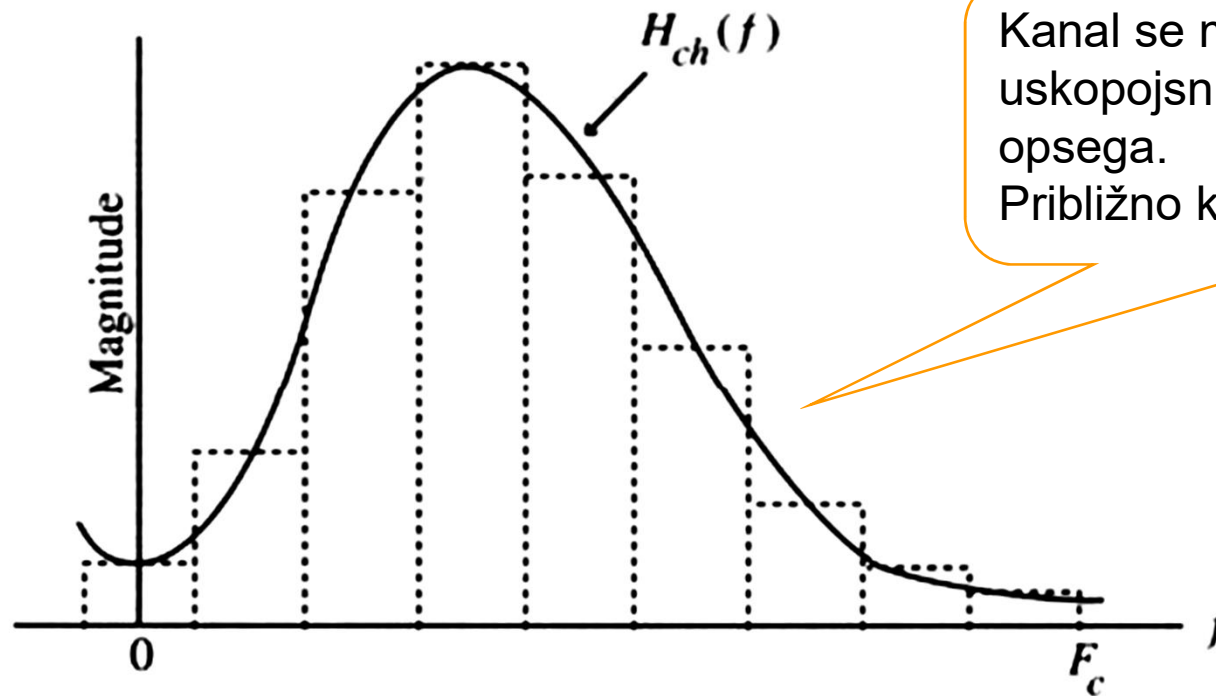
# DMT - prijemnik



$$\beta_k[n] = \alpha_{k-1}[n], \quad 1 \leq k \leq N-1$$

$$\beta_0[n] = \alpha_{N-1}[n]$$

# Karakteristika prenosnog kanala



# Oversampling AD konverzija

- Učestanost odabiranja treba da bude 2 puta veća od najviše učestanosti korisnog signala
- Pre AD konverzije mora da se koristi filter propusnik niskih učestanosti čija je učestanost granice propusnog opsega jednaka najvišoj učestanosti korisnog signala, učestanost granice nepropusnog opsega neznatno veća od granice propusnog opsega
- Analogni filter mora da bude visokog reda sa kvalitetnim komponentama (visoka cena)
- Filter sa oštrom karakteristikom unosi fazna izobličenja u propusnom opsegu
- Alternativa – učestanost odabiranja je znatno veća, filter nema strmu karakteristiku, digitalnim filtrom se realizuje oštra karakteristika, smanji se učestanost odbiranja

# Analiza šuma (1)

- AD konvertor sa  $b$  bita i učestanost odabiranja  $F_T$
- Full-scale peak-to-peak ulazni signal (napon) je  $R_{FS}$
- Najmanji opseg vrednosti koji se predstavlja binarno  $\Delta V$

$$\Delta V = \frac{R_{FS}}{2^b - 1} \approx \frac{R_{FS}}{2^b}$$

# Analiza šuma (2)

- Snaga kvantizacionog šuma je  $\sigma_e^2$
- Podrazumeva se uniformna distribucija greške u opsegu između  $-\Delta V/2$  i  $\Delta V/2$
- Gustina šuma je snaga šuma po jedinici frekvencijskog opsega (*noise density*)
- Snaga (ukupna) u korisnom opsegu (*in-band noise power*)

$$\sigma_e^2 = \frac{(\Delta V)^2}{12}$$

$$P_{e,n} = \frac{\sigma_e^2}{F_T / 2} = \frac{(\Delta V)^2}{6F_T}$$

$$P_{\text{total}} = \frac{\sigma_e^2}{F_T / 2} = \frac{\left(R_{FS} / 2^b\right)^2 / 12}{12} \frac{F_m}{F_T / 2}$$

Procesiranje signala

# Analiza šuma (3)

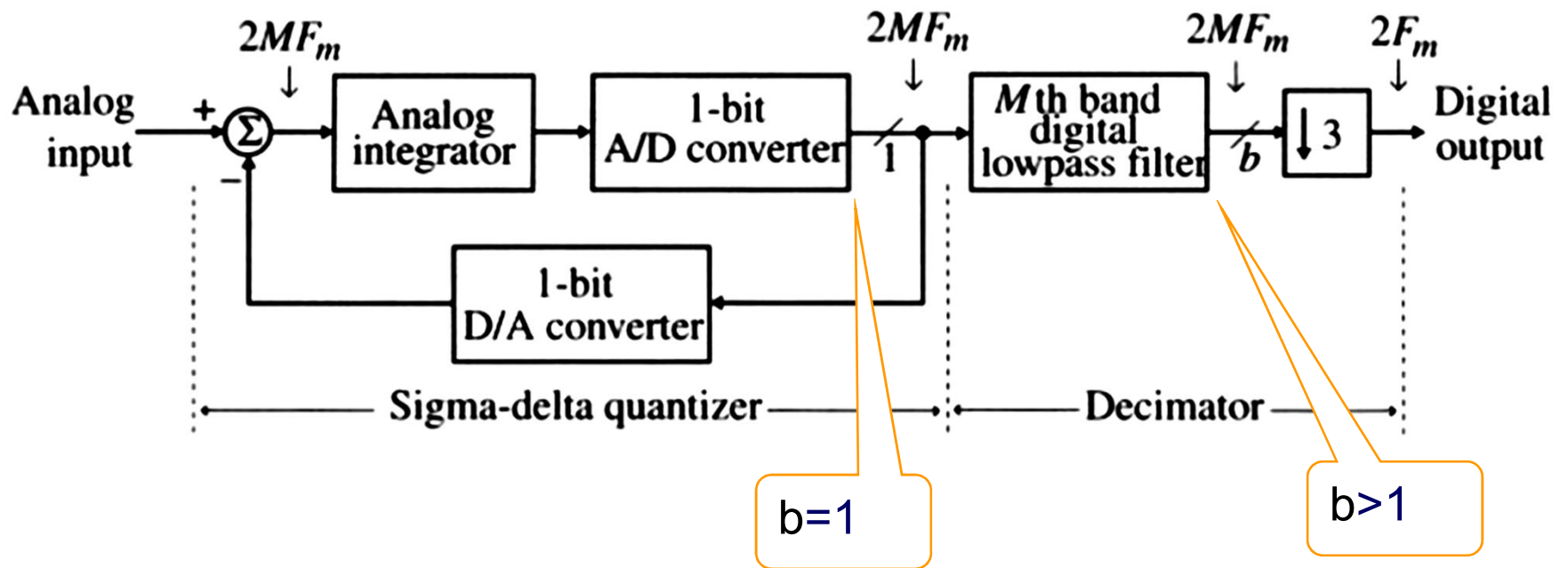
- Za učestanost odabiranja  $F_T=2F_m$ , broj bita  $\beta$
- Za učestanost odabiranja  $F_T=2MF_m$ , broj bita je  $b$
- Oversampling ratio (OSR)  $M=F_T/2F_m$
- Koristi se idealni filter propusnik niskih učestanosti
- Koliko bita treba manje za veće  $M$ ?

$$\beta = b + \frac{1}{2} \log_2 M$$

*Brži a manje tačan  
AD konvertor –  
ekonomičnije rešenje*

*$M=1000, b=8$   
isto kao da se koristi  
 $M=1, b=13$*

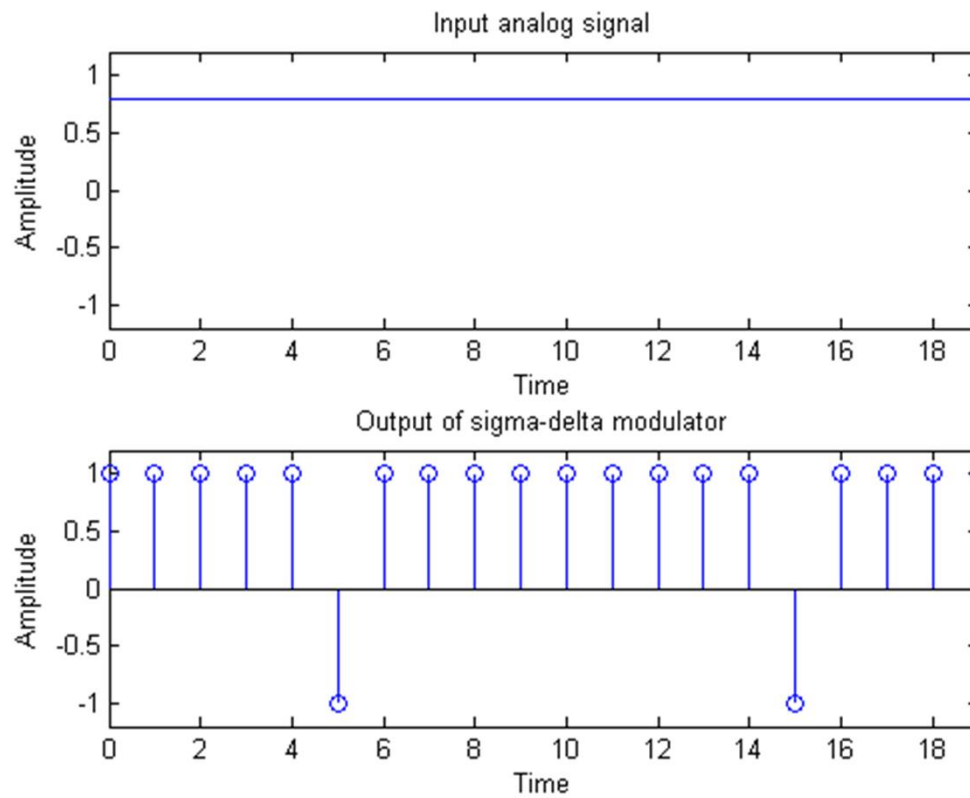
# Sigma-delta ( $\Sigma\Delta$ ) AD konvertor



# Sigma-delta konvertor (1)

```
N = 20;  
n = 1:1:N;  
m = n-1;  
A = 0.8;  
x = A*ones(1,N);  
subplot(2,1,1),  
plot(m,x);  
subplot(2,1,2)  
y = zeros(1,N+1);  
v0 = 0;  
    for k = 2:1:N+1;  
        v1 = x(k-1) - y(k-1) + v0;  
        y(k) = sign(v1);  
        v0 = v1;  
    end  
yn = y(2:N+1);  
stem(m, yn);
```

# Sigma-delta konvertor (2)



Procesiranje signala

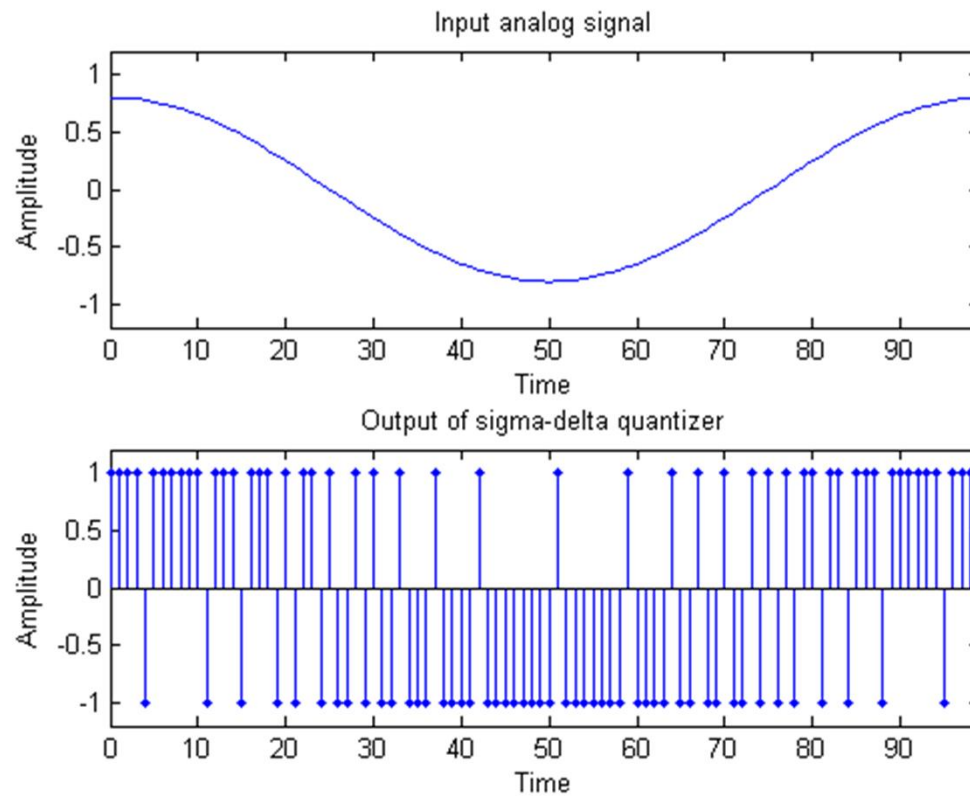
# Sigma-delta konvertor (3)

```
wo = 2*pi*0.01;
sequence = ');
N = 100;
n = 1:1:N;
m = n-1;
A = 0.8;
x = A*cos(wo*m);

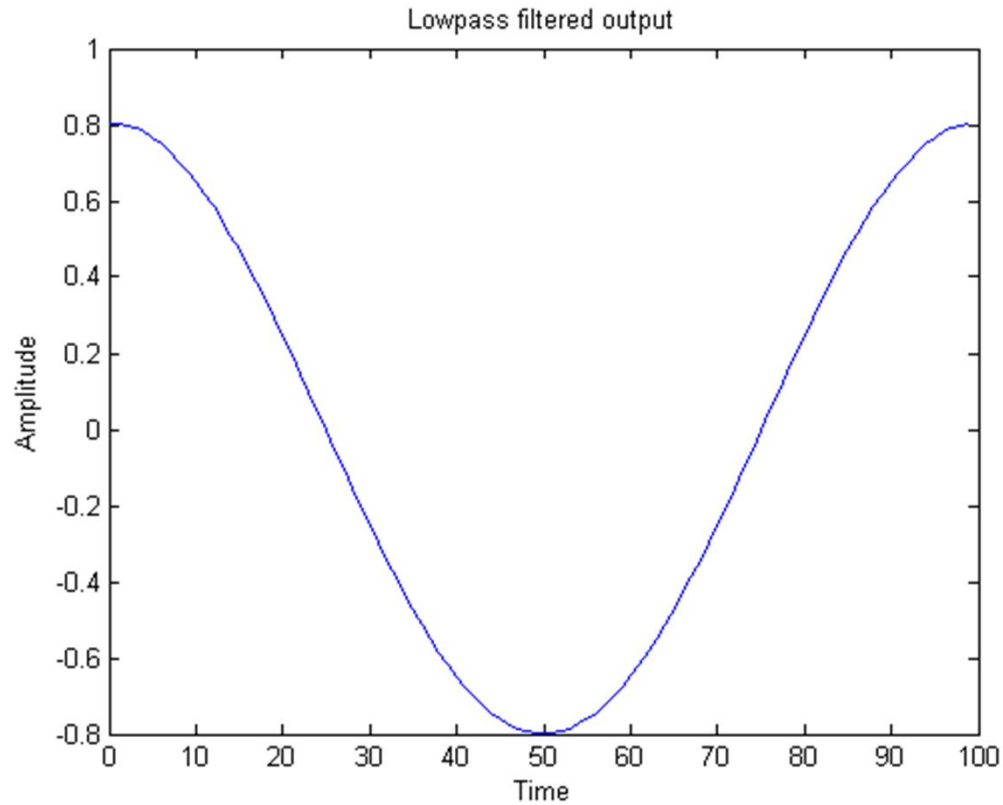
. . .

figure
H = [1 1 0.5 zeros(1,N-5) 0.5 1];
YF = Y.*H;
out = ifft(YF);
axis([0 N-1 -1.2 1.2]);
plot(m,out);
xlabel('Time'); ylabel('Amplitude');
title('Lowpass filtered output');
```

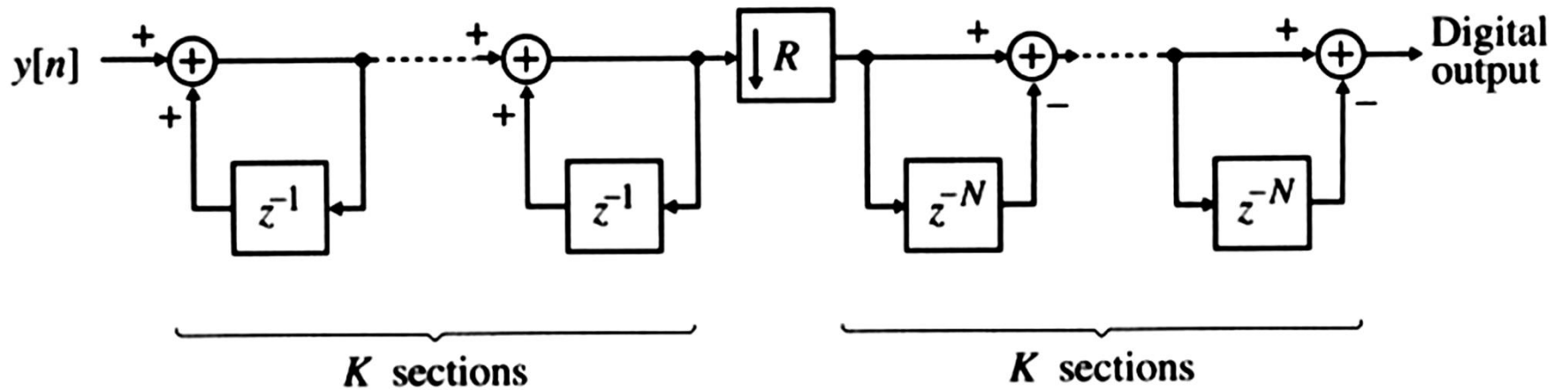
# Sigma-delta konvertor (4)



# Sigma-delta konvertor (5)



# CIC decimator



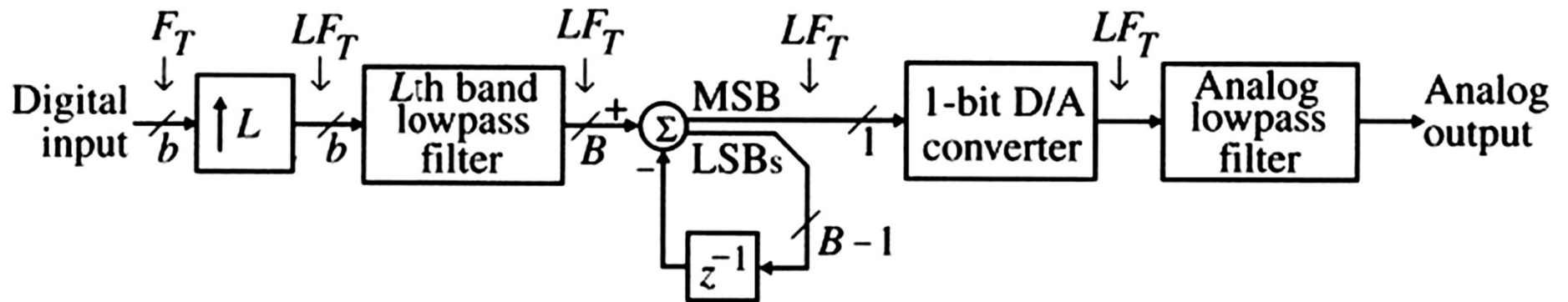
$$H(z) = \left( \frac{1 - z^{-RN}}{1 - z^{-1}} \right)^K$$

Procesiranje signala

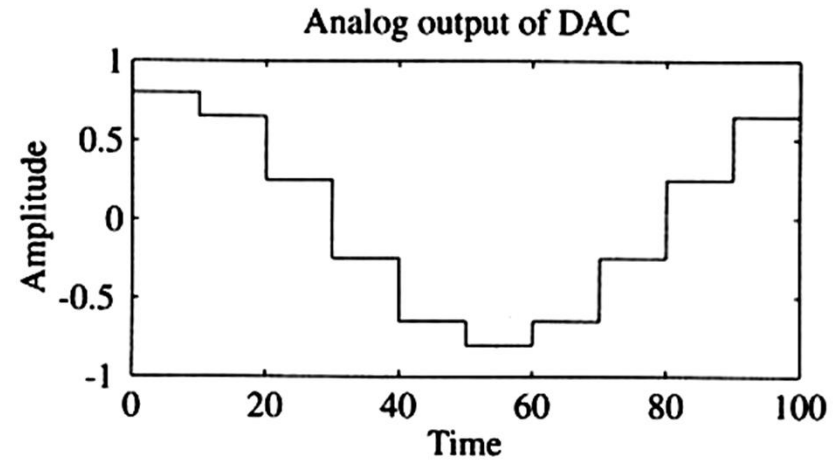
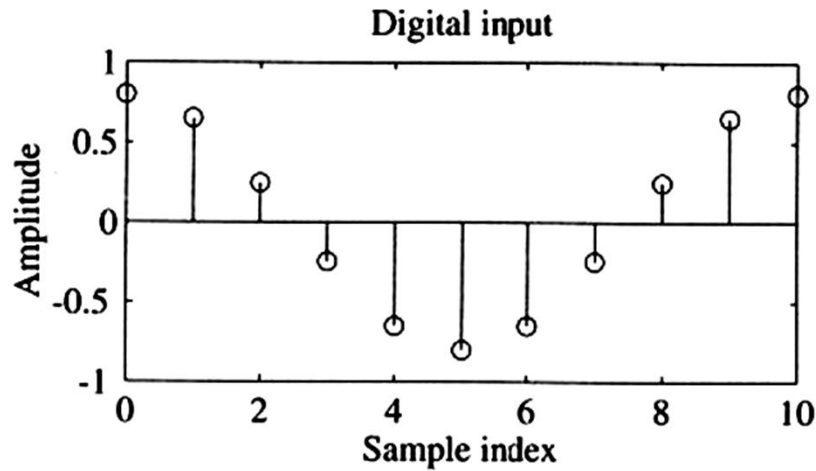
# Oversampling DA konverzija

- DA konverzija se sastoji od konverzije u kontinualni signal i analognog filtra
- Ako je učestanost odabiranja blizu dvostrukoj najvećoj učestanosti korisnog signala, filter mora da ima oštru karakteristiku, da bude visokog reda, od skupih komponenti
- Da se značajno poveća učestanost odabiranja, digitalnim filtrom potisnu neželjene komponente, upotrebi ekonomičan analogni filter (niskog reda od komponenti koje nisu skupe) koji ima široku prelaznu zonu

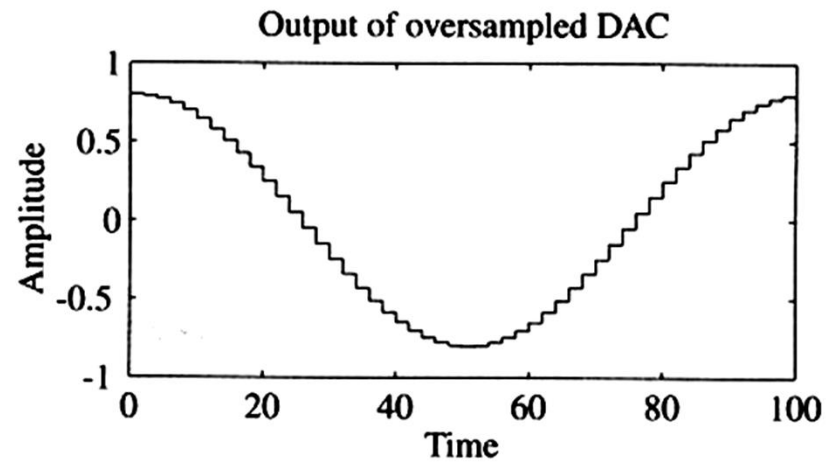
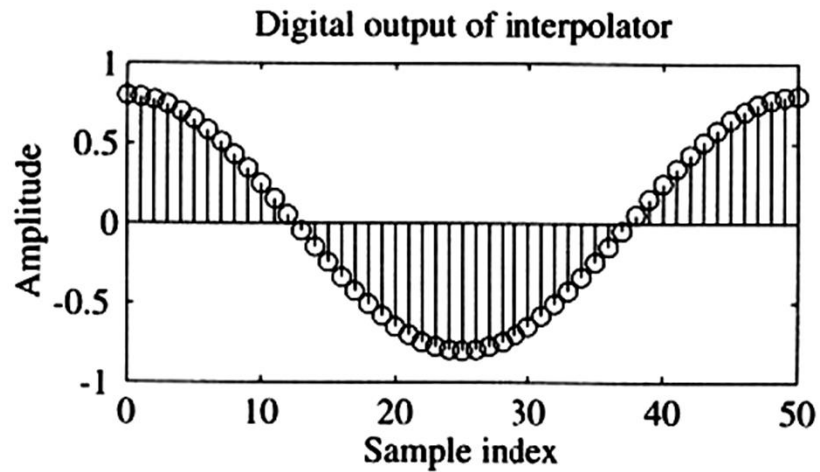
# Realizacija DA konverzije



# Ulazni i izlazni signal DA konvertora

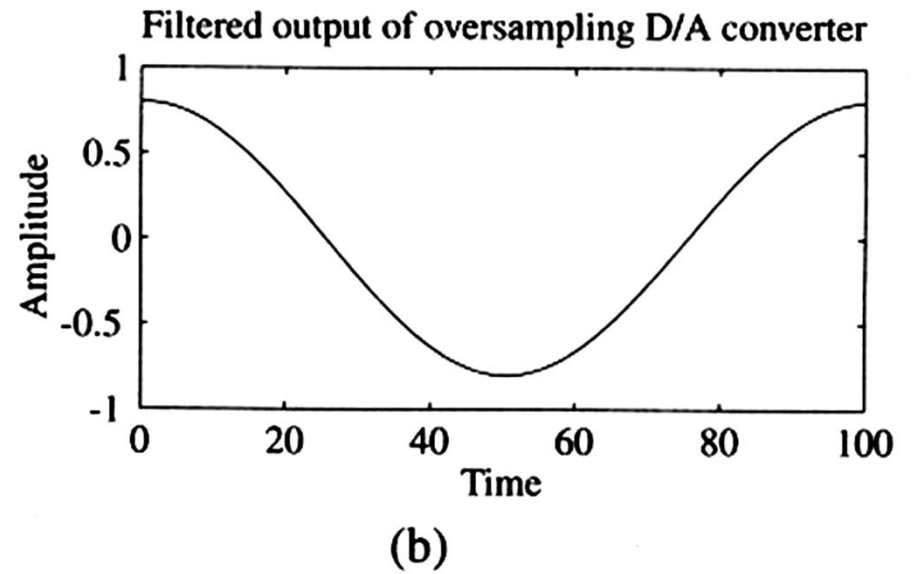
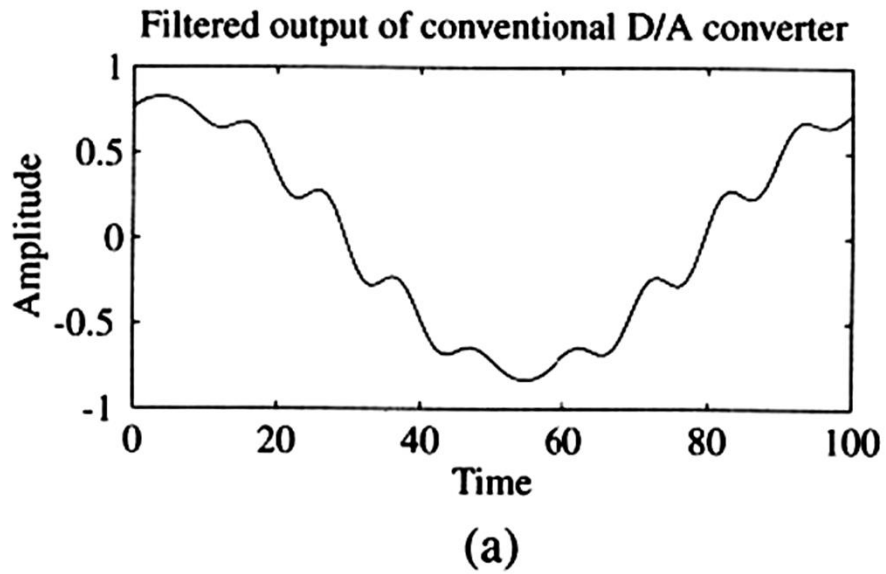


(a)



(b) Procesiranje signala

# Filtrirani signal



**Profesor dr Miroslav Lutovac**  
mlutovac@viser.edu.rs

**Ova prezentacija je nekomercijalna.**

Slajdovi mogu da sadrže materijale preuzete sa Interneta, stručne i naučne građe, koji su zaštićeni Zakonom o autorskim i srodnim pravima.

Ova prezentacija se može koristiti samo privremeno tokom usmenog izlaganja nastavnika u cilju informisanja i upućivanja studenata na dalji stručni, istraživački i naučni rad i u druge svrhe se ne sme koristiti –

Član 44 - Dozvoljeno je bez dozvole autora i bez plaćanja autorske naknade za nekomercijalne svrhe nastave:

(1) javno izvođenje ili predstavljanje objavljenih dela u obliku neposrednog poučavanja na nastavi;

- ZAKON O AUTORSKOM I SRODNIM PRAVIMA  
("Sl. glasnik RS", br. 104/2009 i 99/2011)